

Desarrollo de una interfaz gráfica para una herramienta de cálculo de estructuras

Federico García, Rafael Olivera

Dr. Ing. Franco Robledo, Dr. Ing. Jorge Pérez, Ing. Pablo Castrillo

14 de febrero de 2016

Índice

1. Introducción	6
1.1. Definición del problema y motivación	6
1.2. Desarrollo previo	7
1.3. Objetivos y resultados esperados	8
1.4. Desarrollo del proyecto	9
1.5. Organización del documento	9
2. Estado del Arte	10
2.1. Cálculo de estructuras	10
2.1.1. Problema y cálculos implicados	10
2.1.2. IETFEM	11
2.2. Herramientas comerciales	11
2.2.1. SAP2000	11
2.2.2. AxisVM	12
2.2.3. Herramientas Web	12
2.3. Desarrollo 3D	13
2.3.1. OpenGL	13
2.3.2. LWJGL y JOGL	14
2.3.3. JMonkeyEngine 3	14
2.4. Desarrollo 3D en la Web	14
2.4.1. HTML5 - Canvas	15
2.4.2. WebGL	15
2.4.3. Librerías para desarrollo 3D	15
2.5. Información complementaria	16
2.5.1. Investigación sobre proyectos similares en América Latina	16
2.5.2. Conclusión	16
3. Organización del trabajo	17
3.1. Alcance	17
3.2. Metodología de trabajo	18
3.3. Estimación y esfuerzo efectivo	20
4. Presentación de la solución	21
4.1. Análisis y relevamiento de requerimientos	21
4.2. Diseño de la solución	23
4.3. Arquitectura	26
4.4. Tecnologías y herramientas utilizadas	30
4.4.1. HTML5 - JavaScript - CSS3	30
4.4.2. BootStrap	30
4.4.3. AngularJS	32
4.4.4. ThreeJs	32

4.4.5. Electron	32
4.5. Manejo del espacio 3D	33
4.5.1. Eventos de usuario	33
4.5.2. Adición, sustracción y transformación de objetos	34
4.5.3. Manejo de la cámara	35
4.5.4. Trazado de rayos e intersecciones con objetos	36
4.6. Manejo de datos	37
4.6.1. Entrada y mantenimiento de información	37
4.6.2. Almacenamiento de la estructura	38
4.6.3. Salida de Datos	40
4.7. Análisis de resultados del Core	41
4.7.1. Generación de resultados	41
4.7.2. Introducción de datos en la UI	41
4.7.3. Visualización	42
5. Resultados obtenidos	42
5.1. Comparación IETFEM con y sin UI	42
5.1.1. Análisis del impacto en la usabilidad	42
5.1.2. Análisis del impacto en el tiempo de ejecución	43
5.2. Casos de prueba	44
5.2.1. Estudio de casos de pequeño porte (Torre pequeña)	44
5.2.2. Estudio de casos de mediano porte (Grúa)	46
5.2.3. Estudio de casos de gran porte y performance (Torre Eiffel)	48
6. Conclusiones y trabajo futuro	49
6.1. Conclusiones	49
6.2. Trabajo a futuro	50
6.2.1. Trabajo en la interfaz	50
6.2.2. Despliegue de la aplicación	51
7. Anexos	52
A. Especificación de Casos de Uso	52
B. Entrada del motor: Torre pequeña	59
C. Salida del motor: Torre pequeña	62

1. Introducción

1.1. Definición del problema y motivación

Desde las primeras casas construidas por el hombre, hasta el edificio más moderno y extravagante que exista en la actualidad, puede decirse que se buscó en el fondo el mismo objetivo: lograr una estructura segura, resistente y funcional. Hoy por hoy, la evolución del conocimiento humano y de la tecnología circundante ha permitido desarrollar a niveles altísimos el comprendimiento del problema y sus posibles soluciones.

El cálculo de estructuras, en ese sentido, es una rama fundamental dentro de la ingeniería civil. Se trata de una serie de complejos cálculos realizados con la finalidad de lograr estructuras óptimas con las condiciones descritas anteriormente. A grandes rasgos, se busca que la estructura pueda soportar tanto su propio peso, como cualquier fuerza externa que pueda ser aplicada a la misma. Debido a estos factores, la estructura puede sufrir ciertas deformaciones antes de alcanzar su punto de equilibrio.

La Ingeniería en Computación no ha dejado este problema de lado, ya que existen diversos sistemas informáticos encargados de facilitar el diseño y cálculo de estructuras. Estos sistemas permiten, a grandes rasgos, dibujar una estructura mediante la definición de diferentes elementos estructurales, materiales, secciones, apoyos, fuerzas externas, etc. Finalmente, realizan los cálculos correspondientes, mostrando la estructura en un estado de equilibrio con las solicitaciones y deformaciones ocurridas en el proceso.

Así como existen estos sistemas reconocidos mundialmente, la Facultad de Ingeniería (FIng) cuenta también con su propio sistema de cálculo de estructuras. Su nombre es IETFEM, y fué desarrollado por los Ing. Pablo Castrillo y Jorge Pérez pertenecientes al Instituto de Estructuras y Transporte (IET). Se trata de un motor de cálculo de código abierto desarrollado en GNU-Octave[1] que recibe una estructura descrita en formato texto y genera gráficas, imágenes y tablas de resultados. Es un sistema de uso académico que actualmente se utiliza en diversos cursos dictados por el instituto en cuestión.

En este proyecto, se desarrolló una interfaz gráfica acorde para ser utilizada en conjunto con el motor de cálculo antes mencionado, logrando así un sistema completo de diseño y cálculo de estructuras con un mayor grado de amigabilidad. Se busca, en particular, agregar funciones de dibujado y visualización de resultados que pueden observarse en otros sistemas de la misma índole, acercando al IETFEM a los sistemas comerciales y logrando una mayor usabilidad y eficiencia para los estudiantes que lo utilizarán.

38 1.2. Desarrollo previo

39 Como mencionamos anteriormente, la FIng cuenta con un motor de cálculo
40 de estructuras desarrollado por los ingenieros Pablo Castrillo y Jorge Pérez
41 denominado IETFEM[2]. El mismo resuelve problemas de cálculo de estructuras
42 utilizando el Método de los Elementos Finitos (MEF).

43 El MEF es, desde mediados del siglo XX, una de las principales herramientas
44 utilizadas por los ingenieros para el análisis de sistemas estructurales, mecáni-
45 cos, eléctricos, etc. El avance de la computación y la disponibilidad creciente de
46 computadores potentes a bajo costo ha provocado que los programas comercia-
47 les de MEF para el cálculo estructural sean utilizados masivamente. De hecho,
48 en los últimos cuarenta años el MEF ha transformado los procedimientos de tra-
49 bajo de todas las áreas de ingeniería y constituye hoy una de las herramientas
50 indispensables con las que un ingeniero debe contar en el ejercicio de su profe-
51 sión. Por otra parte, el uso del MEF por parte de profesionales no debidamente
52 capacitados podría eventualmente producir errores en el diseño de estructuras,
53 y por tanto, riesgos para los usuarios.

54 En este contexto, la enseñanza del MEF en las carreras de ingeniería se trans-
55 forma en un desafío docente, donde además de formar a los estudiantes en el
56 uso de diferentes programas de cálculo estructural es necesario transmitirles los
57 conocimientos y herramientas que les permitan realizar un análisis crítico de los
58 resultados. Es importante destacar además, que la mayoría de los programas
59 comerciales (ej: SAP2000[3] y AxisVM[4]) de MEF son de código cerrado, por
60 lo que presentan como desventaja a nivel educativo, que no permiten a los estu-
61 diantes ver su funcionamiento interno, limitando la comprensión de los errores
62 durante el aprendizaje.

63 De esta manera surge entre docentes del Instituto de Estructuras y Transporte
64 (IET) la motivación de brindar una solución al problema a través del desarrollo
65 de un *software* educativo y de código abierto: IETFEM.

66 IETFEM comenzó a desarrollarse en 2012 . El primer módulo desarrollado per-
67 mitió resolver problemas de estructuras de barras articuladas ó apoyadas en
68 el plano con cargas aplicadas en los nodos. Esta primera versión fue utilizada
69 por estudiantes del curso de Elasticidad 2013; luego se incluyó la posibilidad de
70 generar un informe de salida en formato \LaTeX . Posteriormente, la herramien-
71 ta contó con el aporte del docente del IET, Agustín Spalvier, desarrollando la
72 capacidad de ingresar cargas distribuidas uniformes en elementos de pórtico y
73 el análisis modal de vibraciones de pórticos. Finalmente, a principios de 2014,
74 Castrillo desarrolló un módulo para la resolución de problemas con variaciones
75 de temperatura y fuerza de volumen en barras articuladas.

76 Se buscó una herramienta que sin ser compleja para su aplicación en cursos de
77 grado, permita al estudiante visualizar el funcionamiento interno del método
78 de cálculo. Por ello se optó por la sintaxis de programación de GNU-Octave
79 (herramienta libre de alta compatibilidad con Matlab[5]), ya conocida por los

80 estudiantes. Se considera que contar con un *software* abierto donde los estu-
81 diantes pueden entender e incluso programar nuevos cálculos de acuerdo a sus
82 necesidades, enriquece el trabajo desde el punto de vista didáctico.

83 La forma de ingreso de datos se eligió de acuerdo a otros programas de cálculo
84 de estructuras como SAP2000 donde se deben definir: materiales, secciones,
85 estados de carga, geometrías, conectividades, etc. En el IETFEM se optó por
86 una entrada de archivo de texto plano donde el estudiante debe ingresar esta
87 información. La salida también es en texto plano (.txt y .tex) y gráfica, al igual
88 que en los programas comerciales.

89 Sin embargo, la generación del archivo de entrada y la comunicación con el
90 IETFEM pueden llegar a ser tediosas y complicadas para el estudiante. Debe
91 tenerse en cuenta que debe especificarse la estructura nodo por nodo, barra
92 por barra, describiendo los materiales, secciones y fuerzas aplicadas, entre otras
93 cosas, respetando además un formato fijo de documento que puede derivar en
94 diversos errores de sintaxis.

95 Por lo tanto, se desarrolló en este proyecto una interfaz gráfica de código abierto
96 donde el estudiante pueda dibujar la estructura de una manera sencilla e intuiti-
97 va, y que genere la entrada al IETFEM de manera automática. De esta manera,
98 se pretende mejorar tanto la facilidad de uso como la eficiencia del mismo.

99 1.3. Objetivos y resultados esperados

100 Como mencionamos antes, a pesar de la increíble potencia en la resolución del
101 problema del cálculo de estructuras, IETFEM presenta ciertos puntos a mejorar
102 para ser comparado con otros sistemas del mismo rubro.

103 A lo largo de este proyecto se persiguirton 2 grandes objetivos que se consideran
104 esenciales para el enriquecimiento del sistema: Mejorar la eficiencia y mejorar
105 la usabilidad.

106 Para mejorar la usabilidad, se desarrolló una interfaz que permite al usuario
107 dibujar la estructura de manera fluida y amigable. Se trata de un espacio 3D
108 donde el usuario puede moverse libremente utilizando el mouse para desplazarse
109 y rotar la cámara. Permite dibujar la estructura de una manera continua e
110 intuitiva. Además, facilita la comunicación con el motor de cálculo previamente
111 desarrollado y la visualización de los resultados obtenidos.

112 Para mejorar la eficiencia, se redujo el tiempo de ejecución del motor de cálculo,
113 eliminando el proceso de graficación y generación de imágenes, ya que ahora los
114 resultados pueden verse en la nueva interfaz. Como regla básica, buscamos que el
115 usuario pierda el menor tiempo posible en problemas tecnológicos o informáticos
116 y que dirija sus esfuerzos al comprendimiento del problema y su método de
117 resolución.

118 A modo de resumen, se busca un sistema ágil, de código abierto, que mejore

ambos aspectos lo suficiente como para poder ser utilizado sin problemas en el curso de Elasticidad dictado por el IET. Con el fin de verificar el cumplimiento de los objetivos por parte del sistema, una vez finalizado, será evaluado resolviendo ejercicios del curso antes mencionado, realizando comparaciones y análisis del tiempo de ejecución.

1.4. Desarrollo del proyecto

El proyecto comenzó con una fase fuerte de investigación. Inicialmente se realizaron reuniones ocasionales con los tutores, donde se reunió información valiosa sobre la teoría de cálculo de estructuras y el método de elementos finitos. Además se definió qué tipo de herramienta se quería, qué funcionalidades eran deseadas y qué objetivos se buscaban. Durante esta etapa se utilizó el motor de cálculo directamente para comprender su funcionamiento y compararlo con otras herramientas comerciales.

Una vez comprendido el problema, se procedió a buscar herramientas con las cuáles desarrollar la interfaz. Se investigaron librerías y lenguajes de programación 3D, optando al final por utilizar tecnologías web por su simplicidad de uso, agilidad y portabilidad.

Posteriormente se comenzó a diseñar e implementar la herramienta, separando en diferentes módulos que serán descritos en detalle en el Capítulo 4. Se ejecutaron reuniones quincenales con los tutores para definir detalles, corregir errores, evaluar resultados y tomar decisiones en conjunto. Esta fase ocupó la mayor parte del tiempo del proyecto, debido a la dificultad técnica del mismo.

Finalmente, una vez alcanzado un producto inicial que cumplía las expectativas planteadas, se procedió a realizar pruebas sobre el mismo, detectando ciertos errores de performance que fueron solucionados hasta un nivel considerablemente bueno (se hablará de estas medidas en el Capítulo 5).

1.5. Organización del documento

El resto del documento se organiza de la siguiente manera:

En el siguiente Capítulo, se comienza analizando el estado del arte, tanto del problema de cálculo de estructuras como de herramientas de programación 3D, y su posible uso en sistemas de este tipo. Se realiza un estudio de diferentes herramientas investigadas, el estado de las mismas y su posibilidad de ser utilizadas en este proyecto. También se investigan otros sistemas de cálculo de estructuras y otros proyectos académicos similares en América Latina y el mundo.

Posteriormente, en el Capítulo 3, se habla de la organización del trabajo a lo largo del proyecto. Se plantea el alcance del mismo, definiendo las funcionalidades y características específicas que se buscan en el producto final. Se describe

la metodología de trabajo utilizada y se realizan estimaciones para cada tarea comprendida, comparando finalmente con el esfuerzo efectivo.

A continuación, en el Capítulo 4, se procede a plantear la solución propuesta, detallando cada aspecto de la misma. Se describe con exactitud su proceso de diseño e implementación, la arquitectura definida, el funcionamiento de cada componente, las herramientas utilizadas y su uso en general.

En el Capítulo 5, se especifican los resultados obtenidos, analizando diferentes casos de prueba y comparando con resultados obtenidos desde IETFEM antes de la realización de este proyecto. Se analizan además los problemas obtenidos durante esta fase y cómo fueron resueltos.

Finalmente, el Capítulo 6, enumera las conclusiones obtenidas durante el proyecto, analizando el cumplimiento de objetivos y proponiendo posible trabajo a futuro a desarrollar sobre IETFEM.

2. Estado del Arte

2.1. Cálculo de estructuras

2.1.1. Problema y cálculos implicados

IETFEM fue creado en 2013 por docentes del IET para resolver problemas de pórticos y reticulados planos utilizando el MEF.

El MEF[6] es un método numérico general para la aproximación de soluciones de ecuaciones diferenciales parciales. Está pensado para ser usado en computadoras y permite resolver ecuaciones diferenciales asociadas a un problema físico sobre geometrías complicadas. La idea general de este método es la división de un continuo en un conjunto de pequeños elementos interconectados por una serie de puntos llamados nodos. Las ecuaciones que rigen el comportamiento del continuo regirán también el del elemento. De esta forma se consigue pasar de un sistema continuo (infinitos grados de libertad), que es regido por una ecuación diferencial o un sistema de ecuaciones diferenciales, a un sistema con un número de grados de libertad finito cuyo comportamiento se modela por un sistema de ecuaciones, lineales o no.

Este método se usa en el diseño y mejora de productos y aplicaciones industriales, así como en la simulación de sistemas físicos y biológicos complejos. La variedad de problemas a los que puede aplicarse ha crecido enormemente, siendo el requisito básico que las ecuaciones constitutivas y ecuaciones de evolución temporal del problema a considerar sean conocidas de antemano.

190 2.1.2. IETFEM

191 IETFEM nació como una herramienta académica de código abierto desarrollada
192 íntegramente en la plataforma libre GNU-Octave que soluciona los problemas
193 anteriormente descritos de forma eficaz y eficiente teniendo como principal
194 objetivo enriquecer el proceso de aprendizaje de los estudiantes.

195 Si bien se logro un producto final de calidad y a nivel de las herramientas
196 comerciales (incluso superándolas) en cuanto a los resultados de los cálculos,
197 la herramienta quedó con un debe en cuanto a la interacción con el usuario.
198 El mismo debe generar un archivo de texto con los datos de la estructura en
199 un formato específico con gran cantidad de información en forma de matrices.
200 Este proceso puede rápidamente volverse engorroso y difícil de manejar. Dicha
201 característica es considerada como la más importante fuente de motivación del
202 presente proyecto, así también como mejorar potencialmente la visualización de
203 los resultados finales.

204 2.2. Herramientas comerciales

205 Existen en el mercado diversos productos de *software* enfocados al análisis de
206 estructuras, con gran cantidad de funcionalidades y utilizados por ingenieros
207 de todo el mundo en problemas reales. En el marco de este proyecto se explo-
208 raron con mayor rigurosidad dos herramientas: SAP2000 y AxisVM, las cuales
209 en etapas más avanzadas del desarrollo fueron tomadas como estándar para la
210 implementación de ciertas funcionalidades, basados principalmente en la expe-
211 riencia de los tutores con las mismas.

212 2.2.1. SAP2000

213 Es un *software* comercial desarrollado por la empresa Computers & Structu-
214 res, Inc. [7] fundada en 1975 en California, siendo uno de los pioneros en herra-
215 mientas de análisis de estructuras.

216 Actualmente en su versión 18, SAP2000 es una aplicación para computadoras
217 que se ejecuta en ambientes Windows. Cuenta con un entorno gráfico 3D para el
218 modelado y una interfaz de usuario muy completa que puede resultar demasiado
219 compleja para modelar estructuras simples.

220 Entre las características más importantes se encuentran:

- 221 ■ Un motor de análisis que puede resolver varios tipos de problemas.
- 222 ■ Diversas características para el modelado como *templates*, sistema de gri-
223 llas, distintas vistas y herramientas de meshing.
- 224 ■ Diversos componentes estructurales como articulaciones, barras, cables só-
225 lidos, resortes, etc.

- 226 ■ Posibilidad de aplicar distintos tipos de cargas.
 - 227 ■ Varias posibilidades para ver la salida de los cálculos con diagramas, tablas
 - 228 y reportes.
 - 229 ■ Importación y exportación de modelos en distintos formatos estándar.
- 230 Por todo esto, SAP2000, es uno de los productos comerciales líderes en el mer-
- 231 cado siendo utilizado en más de 160 países en todo el mundo[8].
- 232 En cuanto al licenciamiento, es un software privativo el cual cuenta con la opción
- 233 de solicitar un trial de una versión limitada de la herramienta. Para comprarla
- 234 es necesario contactarse con un vendedor de Buenos Aires.

235 2.2.2. AxisVM

236 Es un *software* comercial desarrollado por la empresa InterCAD Kft. en 1991

237 y con sede en Hungría. Fue una de las primeras herramientas 3D basada en el

238 método de los elementos finitos.

239 Actualmente en su versión 13, AxisVM requiere computadoras con el sistema

240 operativo Windows. El conjunto de características es muy similar al descripto

241 en la anterior herramienta.

242 Axis cuenta con una versión *light* gratuita con limitaciones en la cantidad de

243 elementos que se pueden construir, además de la posibilidad de descargar una

244 versión *trial* por tiempo limitado con el fin de evaluar más intensamente la

245 herramienta.

246 2.2.3. Herramientas Web

247 El sector del *software* de análisis estructural en la web (o nube) es un paradigma

248 poco explorado por los desarrolladores, existiendo un conjunto muy limitado de

249 ofertas en este sentido.

250 De acuerdo a la investigación realizada es importante destacar las siguientes

251 ofertas:

- 252 ■ Idea StatiCa [9] es un emprendimiento Checo que cuenta con calculadoras
- 253 para 6 problemas principalmente en espacios 2D. Ha sido desarrollado en
- 254 Silverlight y utilizando la nube de Microsoft Azure como plataforma de
- 255 despliegue.
- 256 Cuenta con ciertas características gratuitas y funciona con un sistema de
- 257 créditos que se deben comprar para realizar ciertas funciones.
- 258 ■ CloudCalc [10] es un *software* en crecimiento enfocado al análisis de es-
- 259 tructuras de acero en la nube proveniente de Houston EEUU. Ha sido
- 260 desarrollado utilizando WebGL para las características gráficas 3D.

261 Actualmente es una aplicación gratuita, es necesario simplemente la crea-
262 ción de una cuenta para poder probarla.

263 ■ SkyCiv [11] es un emprendimiento reciente de origen Australiano y es la
264 suite más desarrollada y con mayor calidad aparente de las vistas en este
265 sector. Cuenta con calculadoras para distintos problemas en 2D y una
266 versión pro que permite estructuras en 3D. Utiliza también WebGL para
267 los gráficos.

268 Cuenta con un *trial* por 30 días para probar todas sus funcionalidades y
269 luego es un servicio que se paga de forma mensual.

270 Si bien existen algunas pocas ofertas, no logran niveles de calidad similares por
271 ejemplo a herramientas de escritorio como SAP2000 o AxisVM, encontrándose
272 así una ventana de oportunidad para el desarrollo de este tipo de herramientas
273 con interfaces Web.

274 2.3. Desarrollo 3D

275 Dado el fuerte componente gráfico del proyecto fue necesario repasar un gran
276 abanico de posibilidades a nivel tecnológico que permitan cumplir con los requere-
277 rimientos 3D de la aplicación requerida. A continuación se muestran las princi-
278 pales opciones investigadas, que van desde especificaciones estándares de muy
279 bajo nivel de abstracción, pasando por *wrappers* de las mismas, hasta completos
280 y potentes motores gráficos.

281 Se priorizaron fuertemente herramientas gratuitas de código abierto dado que
282 fue un requerimiento por parte de los tutores. Además se hizo especial foco en
283 tecnologías conocidas por los desarrolladores tales como Java o tecnologías web.

284 2.3.1. OpenGL

285 Es una especificación estándar que define una *API* multilenguaje y multiplata-
286 forma para escribir aplicaciones que produzcan gráfico 2D y 3D.

287 El funcionamiento básico consiste en aceptar primitivas como puntos, líneas
288 y polígonos y convertirlas en píxeles. Es una *API* basada en procedimientos
289 de bajo nivel que requiere que el programador dicte los pasos exactos para
290 renderizar la escena. Esto la diferencia de otras *APIs* más descriptivas, donde
291 el programador sólo debe describir la escena.

292 OpenGL [12] tiene dos propósitos esenciales:

293 ■ Ocultar la complejidad de la interfaz con las diferentes tarjetas gráficas,
294 presentando al programador una *API* única y uniforme.

- 295 ■ Ocultar las diferentes capacidades de las diversas plataformas hardwa-
296 re, requiriendo que todas las implementaciones soporten la funcionalidad
297 completa de OpenGL

298 En la actualidad en su versión 4.5 se utiliza ampliamente en CAD, realidad vir-
299 tual, representación científica, visualización de información, simulación y desa-
300 rrollo de videojuegos donde compite con Direct3d (en plataformas Microsoft).

301 En virtud de lo detallado en cuanto al bajo nivel de abstracción y por conse-
302 cuente prolongada curva de aprendizaje y baja productividad esta opción fue
303 descartada rápidamente al menos en su uso directo.

304 2.3.2. LWJGL y JOGL

305 JWJGL (Lightweight Java Game Library 3) [13] y JOGL (Java OpenGL) [14]
306 son *wrappers* de OpenGL que proveen acceso de bajo nivel a sus funcionalidades
307 que a menudo no se implementan de manera correcta. No son librerías con gran
308 cantidad de funcionalidades ni proveen utilidades de alto nivel.

309 En la actualidad existen muchas herramientas y motores gráficos para desa-
310 rrollar aplicaciones 3D con mayor cantidad de funcionalidades, menor curva de
311 aprendizaje y mayor productividad que utilizan estas librerías como base.

312 2.3.3. JMonkeyEngine 3

313 Es un motor de código abierto con fuerte inclinación para el desarrollo de video-
314 juegos [15], hecho especialmente para desarrolladores Java para la creación de
315 aplicaciones 3D utilizando las más modernas tecnologías de una manera rápida
316 y con una baja curva de aprendizaje.

317 Esta desarrollado en base a JWJGL y es la suite más popular en el mundo
318 java para desarrollo de videojuegos en alto nivel, con una gran comunidad de
319 desarrolladores y extensivamente documentado. Si bien el enfoque principal son
320 los videojuegos es importante destacar que tiene todas las capacidades para
321 poder construir otro tipo de aplicaciones.

322 2.4. Desarrollo 3D en la Web

323 La utilización de tecnologías web para el desarrollo de la aplicación probaba
324 a priori ser una opción con mucho potencial aportando gran flexibilidad, una
325 opción multiplataforma-multidispositivo además de ser innovadora para herra-
326 mientas de este tipo.

327 Es por estas razones y la experiencia del equipo de desarrollo en estas tecnolo-
328 gías (HTML5, CSS, Bootstrap, JavaScript, AngularJS, etc.) que se investigó la
329 factibilidad de una solución gráfica 3D en este contexto.

330 2.4.1. HTML5 - Canvas

331 El contexto 2D para el elemento de HTML «Canvas»[16] permite la creación
332 de gráficos en páginas web. Es una tecnología que se usa principalmente para
333 dibujar gráficos 2D en la web, aunque es posible realizar trabajos en 3D.

334 La relativa dificultad para realizar trabajos 3D y la gran diferencia de perfor-
335 mance contra opciones como WebGL (Canvas corre en CPU) descartaron esta
336 opción (en su uso directo) rápidamente.

337 2.4.2. WebGL

338 WebGL [17] es una especificación estándar que está siendo desarrollada ac-
339 tualmente para mostrar gráficos en 3D en navegadores web. Permite mostrar
340 gráficos en 3D acelerados por *hardware* (GPU) en páginas web, sin la necesidad
341 de emphplug-ins en cualquier plataforma que soporte OpenGL 2.0 u OpenGL
342 ES 2.0. Técnicamente es una *API* para JavaScript que permite usar la imple-
343 mentación nativa de OpenGL ES 2.0.

344 Existe una gran gama de aplicaciones desarrolladas sobre esta tecnología, desde
345 videojuegos 3D hasta aplicaciones científicas como visualizadores de estructuras
346 moleculares, simulaciones del sistema solar o una aplicación de la NASA llamada
347 «Experience Curiosity» [18] por el aniversario del aterrizaje del robot «Curiosity
348 Rover» en Marte.

349 Es importante destacar que en la actualidad esta soportado por todos los prin-
350 cipales navegadores web tanto en versiones de escritorio como de dispositivos
351 móviles.

352 Con esta gran cantidad de demostraciones de calidad en WebGL y su amplio
353 soporte se perfiló como una opción innovadora y altamente factible para la
354 realización del proyecto.

355 2.4.3. Librerías para desarrollo 3D

356 Como WebGL es una tecnología diseñada para trabajar directamente con el
357 GPU (unidad de procesamiento gráfico) es difícil de codificar en comparación
358 con otros estándares web más accesibles, es por eso que muchas bibliotecas de
359 JavaScript han surgido para resolver este problema.

360 Entre las mismas se privilegiaron aquellas con mayor cantidad de característi-
361 cas implementadas, documentación y comunidad. La investigación entonces se
362 simplificó a dos: ThreeJs [19] y BabylonJs [20] (Microsoft Open Source).

363 Ambas son librerías en JavaScript de alto nivel de abstracción sobre WebGL,
364 tienen esencialmente el mismo conjunto de características tales como:

- 365 ■ Renderización con WebGL.

- 366 ■ Distintos efectos.
- 367 ■ Escenas, para añadir y eliminar objetos en tiempo de ejecución.
- 368 ■ Cámaras, perspectiva u ortográfica.
- 369 ■ Animaciones.
- 370 ■ Luces.
- 371 ■ Materiales.
- 372 ■ *Shaders*.
- 373 ■ Objetos y Geometrías
- 374 ■ Importación y exportación para texturas y otros assets.
- 375 ■ Gran comunidad de desarrolladores (bastante mayor en ThreeJS).

376 Ademas en sus paginas oficiales cuentan con cientos de códigos y aplicaciones
 377 de ejemplo que dejan ver el potencial de las librerías. Entre estos ejemplos se
 378 pueden observar editores estilo CAD que implementan varias funcionalidades
 379 similares a los requerimientos del proyecto lo cual asegura la factibilidad de la
 380 herramienta en este contexto.

381 **2.5. Información complementaria**

382 **2.5.1. Investigación sobre proyectos similares en América Latina**

383 No se encontraron, en una exploración por la web o por experiencia de los do-
 384 centes de Ingeniería Civil, herramientas de *software* con componente gráfico 3D
 385 de análisis de estructuras desarrollados en Latinoamérica, aunque se encuentran
 386 ciertos esfuerzos de algunas empresas de las herramientas más importantes por
 387 llegar a este mercado mediante documentación, paginas web y/o re vendedores
 388 íntegramente de habla hispana.

389 **2.5.2. Conclusión**

390 Se investigaron las principales herramientas dentro del espectro de posibilidades
 391 para el desarrollo del *software* en cuestión.

392 Dentro de las herramientas de escritorio se destaca JMonkeyEngine, ofreciendo
 393 un ambiente de alto nivel para desarrollo 3D respaldado por una gran comunidad
 394 e interesantes funcionalidades. Por otra parte, dentro del mundo del desarrollo
 395 web, sobresale la calidad de las librerías de desarrollo implementadas sobre
 396 WebGL, como BabylonJs o ThreeJs. Estas librerías ofrecen el manejo de ciertos
 397 conceptos implicados en el desarrollo de la interfaz (movimiento de la cámara,
 398 agregado de objetos, etc.) de una manera intuitiva y manejable.

399 Aunque ambas opciones se perfilaron para ser utilizadas, fué clave en la deci-
400 sión tomada el hecho de encontrar escasos sistemas de cálculos de estructuras
401 desarrollados en la nube. El equipo se planteó como interrogante si es posible
402 realizar un sistema con tales características, y si es así, «¿por qué?» no ha sido
403 explorado como posibilidad por las grandes empresas.

404 Este suceso, sumado a la experiencia del equipo de desarrollo en este tipo de
405 tecnologías, centraron la atención en herramientas web para el desarrollo del
406 proyecto.

407 3. Organización del trabajo

408 3.1. Alcance

409 Como se mencionó anteriormente, los objetivos planteados en este proyecto con-
410 sisten en mejorar tanto la eficiencia como la usabilidad del IETFEM. En ese
411 sentido, existen dentro de la rama del cálculo de estructuras una infinidad de
412 funcionalidades y mejoras posibles que pueden resultar útiles en el sistema.
413 Por lo tanto, se definió un conjunto acotado de funcionalidades y característi-
414 cas deseables en el producto final, apuntando a alcanzar satisfactoriamente los
415 objetivos planteados y lograr una herramienta de alto nivel.

416 Se consideró como prioridad apuntar a una herramienta académica, es decir, una
417 herramienta libre, intuitiva para los estudiantes y aplicable en cursos dictados
418 por el IET. En particular, se tomó como referencia el curso de Elasticidad, curso
419 donde ya fué utilizado satisfactoriamente el IETFEM y donde será utilizado
420 luego de la realización de este proyecto.

421 La principal y más grande funcionalidad que se desarrolló fué la presencia de
422 un espacio 3D. El mismo es el elemento central de la aplicación, mediante la
423 cual el usuario efectúa la mayor parte de las interacciones posibles. Se pretendió
424 integrar dentro de este espacio 3D las siguientes funcionalidades:

- 425 ■ Rotación de la cámara de visualización.
- 426 ■ Movimiento de la misma por todo el espacio 3D.
- 427 ■ *Zoom In* y *Zoom Out*.
- 428 ■ Dibujado de nodos y barras.
- 429 ■ Dibujado de grillas auxiliares.
- 430 ■ Selección de nodos y barras: Para setear propiedades en las mismas.
- 431 ■ Eliminación de nodos y barras.
- 432 ■ Visualización y ocultación de propiedades: Fuerzas, puntos de apoyo y
433 resortes.

- 434 ■ Visualización de estructura resultante: Observar la deformada y comparar
435 con estructura original.
- 436 ■ Escalamiento de la estructura deformada: «Exagerar» la deformación, pa-
437 ra apreciar los pequeños desplazamientos.
- 438 ■ Visualización de las propiedades de la estructura deformada utilizando
439 escalas de colores: Deformación, Fuerzas, Tensiones, etc.

440 Más allá de que se pretende que el usuario tenga una experiencia interactiva
441 mediante el dibujado de la estructura, es necesario definir ciertas funcionalidades
442 fuera del espacio 3D. Ya sea tanto por comodidad como por intuición, estas
443 opciones se encuentran en diferentes menús que rodean el espacio, similar a los
444 demás programas comerciales dentro del rubro que se investigaron en el Capítulo
445 anterior.

- 446 ■ Abrir y Guardar Estructuras.
- 447 ■ Definición de Materiales.
- 448 ■ Definición de Secciones.
- 449 ■ Asignar propiedades a barras: Material y sección.
- 450 ■ Asignar propiedades a nodos: Fuerzas, Apoyos y Resortes.
- 451 ■ Selección de nodos y barras: Para setear propiedades en las mismas.
- 452 ■ Eliminación de nodos y barras.
- 453 ■ Prendido y apagado de elementos auxiliares
- 454 ■ Seteo de Factor de escalamiento para la estructura deformada

455 Si bien estos elementos nos permiten estimar una interfaz gráfica completa e
456 intuitiva, resta definir aún la funcionalidad más importante del proyecto: la
457 comunicación con el motor de cálculo. La salida de la interfaz debe ser un
458 archivo reconocible por el IETFEM, del cuál pueda obtener todos los datos de
459 la estructura. Así mismo, el motor debe ofrecer como salida otro archivo, el cuál
460 será recibido por la interfaz con el fin de mostrar los resultados obtenidos. Dicha
461 comunicación puede observarse en la Figura 1, aunque se hará hincapié en cómo
462 se resolvió esta comunicación en el siguiente Capítulo.

463 3.2. Metodología de trabajo

464 En las primeras etapas del proyecto se focalizó el trabajo en comprender el
465 problema que se quiere resolver. Se tuvieron reuniones quincenales con los tu-
466 tores dónde se habló del problema del cálculo de estructuras y cómo lo resuelve
467 IETFEM. Dichas reuniones se apoyaron además en una permanente comunica-
468 ción por e-Mail y una vasta investigación del problema por parte del equipo de

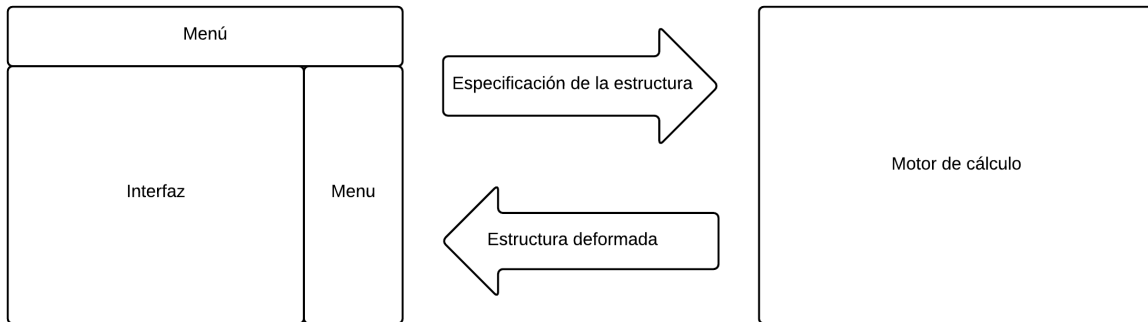


Figura 1: Ciclo de vida de IETFEM

desarrollo. Para esto no sólo se investigó sobre el problema, sino que además se utilizaron productos similares e incluso el propio IETFEM con ejemplos simples.

Una vez comprendido el problema, se buscó una solución al mismo. Dentro de esta etapa se pueden incluir la búsqueda de herramientas, el análisis y el diseño de la aplicación. Se mantuvieron las reuniones con los tutores, evaluando herramientas y enseñando prototipos realizados a modo de prueba. Se investigaron lenguajes y librerías de programación 3D, tanto de escritorio como web, decidiendo en última instancia utilizar WebGL (se hablará más en detalle en el siguiente Capítulo).

Conforme transcurría el tiempo, las reuniones se fueron enfocando cada vez más en el producto final, comenzando a definir las funcionalidades y características del mismo. Mientras se mantenía contacto con los tutores, se realizó la definición de casos de uso, al tiempo que se definió la arquitectura del sistema en base a los requerimientos obtenidos y las prestaciones de las herramientas definidas.

Finalmente, para las etapas de implementación y testeo, se creó un repositorio en Github con el esqueleto de la aplicación y todo código reusable proveniente de la etapa de prototipación. Como metodología de trabajo se utilizó la metodología ágil Kanban[21]. Kanban es un método para gestionar el trabajo intelectual, con énfasis en la entrega justo a tiempo, mientras no se sobrecargan a los miembros del equipo. En este enfoque, el proceso, desde la definición de una tarea hasta su entrega al cliente, se muestra para que los participantes lo vean y los miembros del equipo tomen el trabajo de una cola. Se basa en la idea de visualizar lo que se está haciendo ahora, lo que se está terminando y lo que hay que hacer a continuación.

Existen diversas herramientas *online* de planificación y gestión de proyectos, tales como Jira[22] o TFS[23]. Sin embargo, debido a la poca cantidad de personas involucradas en el proyecto (2 desarrolladores y 2 tutores) y a que las tareas a realizar estaban bien definidas, se optó por utilizar una herramienta simple y natural: una planilla *online*. La misma se encontró en todo momento de libre

Descripción	Estado	Prioridad
Agregar la posibilidad de definir un material por defecto al dibujar barras	Resuelta	1
Agregar sprites y flechas a los nodos cuando se definen fuerzas o condiciones de desplazamiento	Resuelta	1
Agregar funcionalidad para "prender" y "apagar" grillas y fuerzas	Resuelta	2
Agregar funcionalidad Abrir Modelo / Guardar Modelo	En proceso	2
Agregar funcionalidad Nuevo Modelo, que limpia la escena y permite definir las nuevas unidades de medida	Para hacer	3

Figura 2: Planilla utilizando metodología Kanban

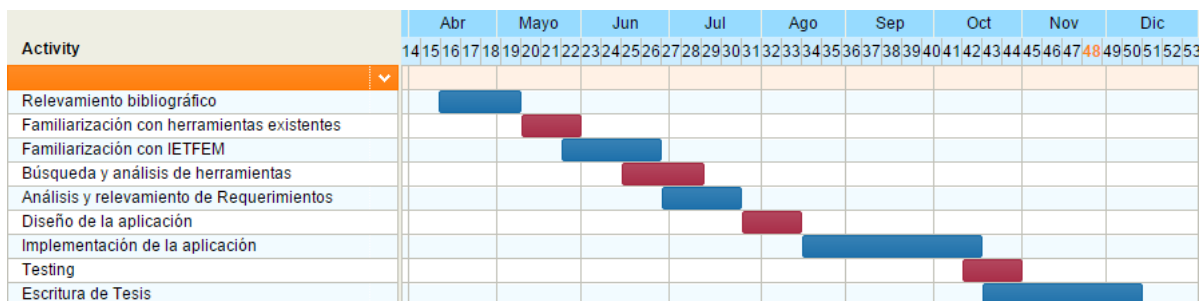


Figura 3: Diagrama de Gantt con la planificación del proyecto

498 acceso y modificación para los 4 participantes, y cada tarea tenía asignada una
499 descripción, un estado, y una prioridad.

500 En un principio, se agregaron todas las tareas a realizar, y ambos desarrolla-
501 dores tomaban cada una de ellas marcando su estado como «En proceso». Una
502 vez finalizada, se marcaba la tarea como terminada y se subían los cambios al
503 repositorio, marcando cada subida con la funcionalidad correspondiente.

504 A su vez, los tutores, los cuáles también tenían acceso a la última versión del
505 IETFEM, iban relevando en la misma planilla problemas o cosas a mejorar que
506 se encontraban en el producto, los cuáles pasaban a ser parte de la «pizarra de
507 Kanban» y seguían el mismo flujo que las demás tareas.

508 Se puede ver la planilla mencionada en un instante de tiempo en la Figura 2

509 3.3. Estimación y esfuerzo efectivo

510 La planificación del proyecto se realizó tomando en cuenta el desconocimiento
511 inicial del problema de cálculo de estructuras y la dificultad de la programación
512 gráfica en 3D. En la Figura 3 se pueden ver las estimaciones realizadas calcu-
513 lando 15 horas de trabajo semanal por desarrollador. Se puede apreciar que el
514 período de trabajo se calculó entre los meses de abril y diciembre, logrando un
515 total de 34 semanas de trabajo, que se traducen en un total de 1020 horas de
516 trabajo. Se considera el tiempo estimado dentro del rango de lo aceptable para
517 el desarrollo de un sistema de mediano-gran porte como el se desea.

Podemos ver también que ciertas etapas se planificaron en simultáneo por ciertos períodos de tiempo, especialmente en las etapas tempranas del proyecto donde se comenzó utilizando y comprendiendo tanto el IETFEM como otras herramientas, mientras se iba definiendo al mismo tiempo cómo realizar la interfaz. Se planificó de esta manera debido a que se consideró que sería bueno evaluar varias herramientas en simultáneo, a modo de comparar y definir qué funcionalidades y características nos gustaría que estén presentes en el sistema. También evaluar cómo llevarlas a cabo utilizando las herramientas que existen en el mercado y el contexto académico en el cuál se quiere insertar la aplicación.

Se observa en la Figura 3 la concurrencia de tareas en los instantes finales del desarrollo, donde se planificó al mismo tiempo el *testing* y la escritura de la Tesis. Debido a la metodología ágil elegida y al tiempo estipulado, resulta conveniente que el testeado de la aplicación comience cuanto antes, ya que corregir un error pasará a ser parte de la cola de tareas, y dependiendo de la prioridad de la misma podría ser resuelta antes que otras tareas menos prioritarias definidas anteriormente. La escritura de la Tesis se planificó en simultáneo simplemente para intentar reducir el tiempo total del proyecto.

El cronograma estimado se realizó de manera exitosa, siguiendo cada etapa en el orden estipulado sin demoras excesivas. Como agregado, durante la implementación se descubrieron nuevas funcionalidades que serían útiles en el sistema, las cuales fueron evaluadas con los tutores y algunas de ellas se llevaron a cabo sin problemas, debido a que la metodología de trabajo lo permitía.

También es necesario destacar el tiempo invertido en la Ingeniería de Muestra a fines del mes de Octubre, el cuál contempló el diseño de carteles, presentación del proyecto y la propia presencia en el evento. Esto redujo unos días el tiempo estipulado para la escritura de la Tesis, el cuál se intenta recuperar durante el mes de noviembre aumentando la cantidad de horas a un promedio de 20 semanales por desrrollador dedicadas a dicha tarea.

4. Presentación de la solución

En esta sección se describe la solución propuesta para el problema planteado, describiendo cada aspecto de la misma y cómo fue realizada cada una de sus funcionalidades. Se detallan además las decisiones que fueron tomadas durante el proceso de análisis y diseño de la aplicación.

4.1. Análisis y relevamiento de requerimientos

Desde un principio se supo que IETFEM era una herramienta robusta, ofreciendo una solución para diferentes problemas posibles. En este sentido, el relevamiento de requerimientos se convirtió en una tarea delicada en dónde debía

556 definirse un número acotado de funcionalidades, para un número acotado de la
557 totalidad de problemas que IETFEM podía resolver.

558 Luego de concretar varias reuniones con los tutores, se decidió que la interfaz
559 permita resolver problemas de estructuras reticuladas, es decir, estructuras for-
560 madas por una serie de barras entrecruzadas y conectadas entre sí por medio
561 de nodos articulados. Esto implica que para dibujar una estructura desde la
562 interfaz, el usuario sólo tenga que colocar nodos y barras.

563 El estudiante coloca los nodos en el espacio 3D, y luego define barras entre 2
564 nodos ya dibujados, asignando para cada barra un material que la conforma y
565 el área de su corte transversal, al que llamaremos sección, ambos previamen-
566 te definidos. También pueden definirse ciertas propiedades para cada nodo, en
567 particular, pueden definirse fuerzas aplicadas al mismo, condiciones de despla-
568 zamiento y resortes.

569 Una vez finalizado el proceso de dibujado, se extrae la estructura en un forma-
570 to reconocible por el motor, se ejecuta el mismo, y se analizan los resultados
571 obtenidos.

572 Destacamos además como funcionalidades secundarias la posibilidad de definir
573 grillas auxiliares con motivo de facilitar el ingreso de datos y la posibilidad de
574 ocultar elementos adicionales, como por ejemplo, los vectores indicadores de
575 fuerzas aplicadas.

576 Basándonos en esta realidad, se definieron los siguientes casos de uso:

- 577 ■ **Alta, Baja y Modificación de Materiales:** Los materiales se definen
578 en base a 5 propiedades: Nombre, Modulo de Young, $\Gamma(\gamma)$, $\alpha(\alpha)$
579 y $\nu(\nu)$.
- 580 ■ **Alta, Baja y Modificación de Secciones:** La sección es el corte trans-
581 versal de una barra, y para este tipo de problemas solo interesa conocer
582 su área.
- 583 ■ **Alta, Baja y Modificación de Nodos:** Cada nodo tiene asignado un
584 conjunto de coordenadas espaciales (x, y, z) . Además es posible asignar
585 al mismo una fuerza aplicada, así tambien como condiciones de despla-
586 zamiento y resortes en cada coordenada.
- 587 ■ **Alta, Baja y Modificación de Barras:** Cada barra tiene asignado un
588 nodo inicial, un nodo final, un material y una sección.
- 589 ■ **Crear grilla:** Son «cuadrículas» auxiliares que facilitan el proceso de
590 dibujado. Para cada coordenada se define la cantidad de líneas auxiliares
591 y la separación entre ellas.
- 592 ■ **Modificar Visualización de Propiedad:** Los nodos con propiedades
593 definidas, como por ejemplo fuerzas aplicadas o resortes, son marcados
594 en la pantalla con vectores o geometrías básicas para ser diferenciados

595 del resto. Esta funcionalidad permite ocultar, mostrar y escalar dichos
596 elementos a gusto del usuario.

597 ■ **Nueva Estructura:** Permite limpiar la pantalla para comenzar una nueva
598 estructura.

599 ■ **Abrir y Guardar Estructura:** Se busca la posibilidad de obtener un
600 archivo con la estructura dibujada, de manera de poder seguir con el tra-
601 bajo realizado en otro momento. También es deseable la carga de dicho
602 archivo en la interfaz, obteniendo la misma estructura en la que se estaba
603 trabajando al momento de guardar.

604 ■ **Generar Especificación:** A partir del dibujo realizado, se genera un archi-
605 vo reconocible por el motor de cálculo con la especificación de la estructura

606 ■ **Procesar Resultado:** Se trata de procesar el archivo resultante del motor
607 y actualizar la pantalla con la estructura deformada.

608 ■ **Escalar Deformada:** Debido a que en algunos casos los desplazamientos
609 pueden ser tan pequeñas que pueden parecer imperceptibles a la vista, se
610 incluye este caso de uso con el fin de «exagerar» los desplazamientos y
611 poder apreciar mejor los resultados obtenidos.

612 ■ **Colorear Estructura:** Al igual que la funcionalidad anterior, este caso
613 de uso aplica a los resultados obtenidos del motor. Se trata de colorear la
614 estructura en base a los datos obtenidos (por ejemplo, pintar de un color las
615 barras que se comprimen y de otro las que se estiran). También se busca
616 transparentar la estructura original o la deformada, para poder apreciar
617 mejor los cambios entre una y otra.

618 En el anexo A se incluye la especificación de cada caso de uso descripto.

619 Puede apreciarse el Modelo de Dominio definido en la Figura 4. Como observa-
620 ciones, se destaca la presencia de la entidad «Deformada», la cuál puede existir
621 o no de acuerdo a si ya se procesaron los resultados obtenidos del motor o si
622 se encuentra en el proceso de dibujado. De esta acotación se desprende el «por
623 qué» de la relación 0..1 - 1 entre las entidades «Deformada» y «Estructura»:
624 mientras se dibuja la estructura todavía no se tiene una deformada definida.

625 El resto del modelo se encuentra considerablemente intuitivo y adecuado a la
626 realidad planteada.

627 4.2. Diseño de la solución

628 Finalizado el relevamiento de requerimientos y correspondiente análisis, se pro-
629 siguió con la etapa de diseño, donde se tomaron decisiones importantes tanto a
630 nivel de diseño tecnológico como en la estructura propia de la aplicación.

631 Desde las primeras reuniones que se tuvieron con los tutores, el objetivo princi-
632 pal fué lograr una aplicación académica. De esta manera, se tuvo como prioridad

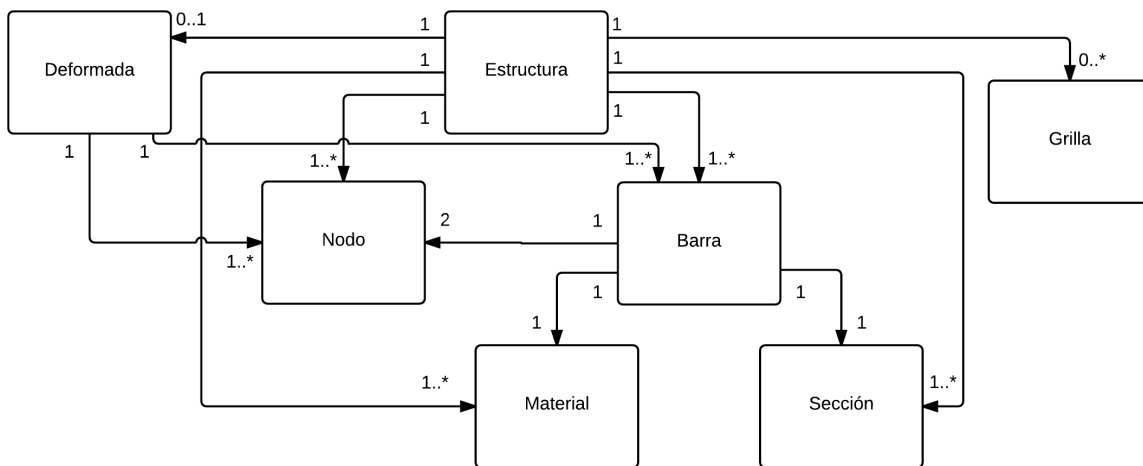


Figura 4: Modelo de dominio de IETFEM.

mantener la simplicidad y la eficiencia de la herramienta por sobre acomplejizar la misma con funcionalidades potentes que serían útiles en un programa profesional. Por ejemplo, se toma en cuenta que en un ámbito académico, el estudiante no ingresará en el sistema estructuras gigantescas (véase la sección 2.3 del Capítulo 5), y sólo utilizará el mismo para los temas comprendidos dentro del curso que desarrolla. Cabe destacar que además, se busca en un segundo plano, lograr el mayor porcentaje de reusabilidad de código posible, ya que en un futuro, IETFEM puede crecer gradualmente para convertirse en un sistema profesional.

Teniendo en cuenta estos aspectos, sumado a las prestaciones destacadas en las herramientas de desarrollo 3D en la web, y la poca cantidad de sistemas de cálculo de estructuras en la nube, se decidió en conjunto con los tutores, realizar la interfaz en un ambiente web.

646 Sin embargo, realizar la interfaz en la nube implica ciertas situaciones preocu-
647 pantes por parte de los tutores, por ejemplo, mantener un servidor donde se
648 aloje la misma una vez finalizado el proyecto. Es necesario entonces destacar
649 ciertas consideraciones sobre la solución elegida:

- Los tutores se sienten a gusto al considerar una versión final en la nube, debido a que la mayoría de este tipo de sistemas son de escritorio y no para todos los sistemas operativos.
- Existe preocupación con respecto al servidor donde se aloje la aplicación. En particular, preocupa justamente encontrar un servidor gratuito donde alojarse y cómo mantener la aplicación una vez finalizado el proyecto.
- Una de las prestaciones actuales del motor de cálculo existente es que al

657 estar desarrollado en GNU-Octave, permite al estudiante ver el funciona-
658 miento interno del código (o incluso programar nuevos cálculos de acuerdo
659 a sus necesidades), enriqueciendo el proceso de aprendizaje. Dichas caracte-
660 rísticas se quieren mantener en la nueva solución.

- 661 ■ Se busca reusabilidad en el código de la aplicación, ya que en un futuro
662 se pretende evolucionar la herramienta a un nivel profesional, donde se
663 pretende que la misma posea diferentes características (por ejemplo, no
664 sería deseable en un sistema profesional que se pueda acceder al código
665 del motor de cálculo directamente).

666 Tomando en cuenta las mencionadas premisas, la solución propuesta consistió en
667 desarrollar la interfaz como una herramienta web. Sin embargo, no se desplegará
668 la misma en un servidor, sino que se encapsulará la misma en un *framework*
669 que permita ejecutar la misma como una aplicación de escritorio. A ojos del
670 estudiante, la aplicación parecerá ser de escritorio.

671 Una vez finalizado el dibujado de la estructura, el estudiante podrá generar un
672 archivo con al especificación de la estructura, el cual podrá ingresar en el motor
673 de cálculo de manera manual. Luego, puede desde la interfaz procesar la salida
674 del motor para observar sus resultados.

675 De esta manera se logran las siguientes características:

- 676 ■ Para la versión inicial, es decir, la versión académica, se ahorra la utiliza-
677 ción de un servidor, ya que cada sistema ejecutará en la máquina de cada
678 estudiante. Esto implica que el mantenimiento a posteriori sea nulo por
679 parte de los tutores una vez finalizado el proyecto.
- 680 ■ Se desacoplan el motor y la interfaz, o sea, el estudiante puede visualizar
681 los cálculos realizados en el motor, o incluso programar nuevos, sin nece-
682 sidad de tocar el código de la interfaz. Es más, el archivo generado por la
683 interfaz será en un formato legible, lo que hace que el estudiante pueda
684 editar el archivo en caso de agregar cálculos nuevos.
- 685 ■ A su vez, esta solución no solo permite agregar cálculos nuevos a los estu-
686 diantes, sino que permite que el desarrollo del motor siga avanzando sin
687 entorpecer la interfaz.
- 688 ■ Se obtiene un código totalmente reusable, ya que si en el futuro se quiere
689 evolucionar la herramienta como un producto profesional en la nube, sólo
690 basta con desplegar el código de la aplicación en un servidor.

691 De esta manera, la herramienta cumple con todas las especificaciones deseadas
692 por los tutores, manteniendo las características positivas de la misma, y a su
693 vez, potenciando la misma en vista de conseguir los objetivos planteados sobre
694 mejorar la eficiencia y la usabilidad.

695 Finalmente, de acuerdo a las pautas establecidas en la sub-sección anterior, el
696 flujo de la aplicación queda establecido como se muestra en la Figura 5. Los
697 pasos 2 y 3 se anotan como opcionales debido a que el usuario puede cargar una

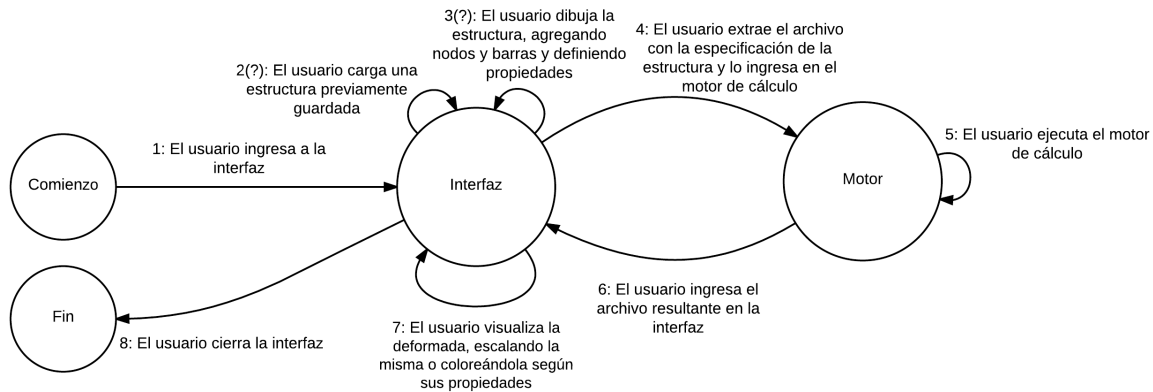


Figura 5: Flujo principal de la aplicación

estructura guardada como dibujar una nueva. Incluso podría realizar ambas, editando una estructura guardada antes de ejecutar el motor

De acuerdo a los casos de uso relevados, se distribuyeron las funcionalidades requeridas en diferentes módulos. Cada uno de estos módulos o subsistemas encapsula operaciones que se relacionan de alguna manera, logrando un nivel bajo de acoplamiento entre cada uno de ellos. Se hablará en detalle de cada subsistema en la siguiente sección.

4.3. Arquitectura

La arquitectura de la aplicación sigue el clásico patrón MVC (Modelo-Vista-Controlador), donde el usuario se encuentra permanentemente interactuando con el sistema, modificando el Modelo (en este caso, la estructura) y visualizando el mismo en el espacio 3D, al que llamaremos Escena.

Como se puede ver en la Figura 6, se agruparon los casos de uso relacionados con el fin de crear diferentes subsistemas encargados de realizar cierto tipo de funcionalidades. Cada una de estas componentes, ofrece al usuario diferentes operaciones que afectan tanto el modelo de la estructura que se mantiene almacenado en la aplicación como lo que se está viendo en el espacio 3D. Por tal motivo, se crearon las componentes «Modelo» y «Escena», las cuáles uniformizan todas las operaciones básicas que se hacen en el modelo de la estructura, y en el dibujo en la escena, respectivamente. Además se destaca el subsistema «Cámara», el cual se relaciona directamente con la escena, encargado de los movimientos del usuario dentro del espacio 3D (Rotación y Desplazamiento) y el subsistema «Deformada», el cual maneja las operaciones básicas que se hacen en la estructura deformada.

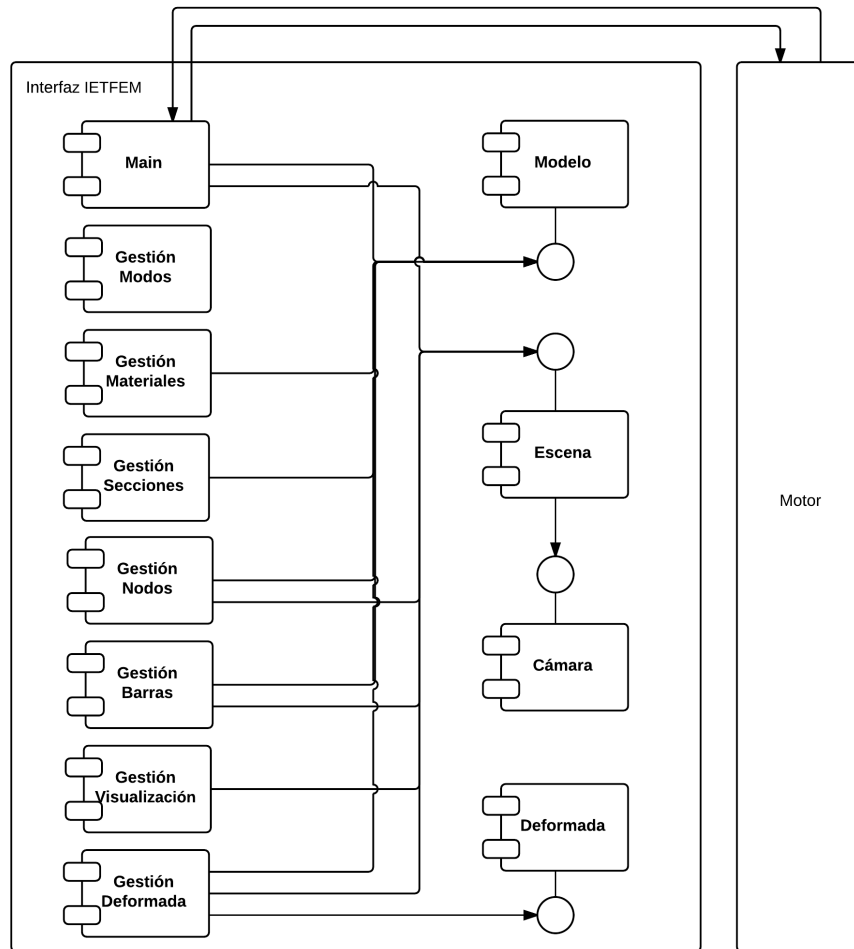


Figura 6: Diagrama de componentes de IETFEM UI

Finalmente, las operaciones que puede realizar el usuario se dividen en 8 subsistemas que se describen a continuación:

Main: Subsistema encargado de realizar la inicialización correcta del sistema. Contiene las operaciones relativas a todo el contexto de la aplicación: Cargar o guardar una nueva estructura, extraer la especificación de la estructura para el motor, y procesar el archivo con los resultados obtenidos. Por último, se encarga de la creación de las grillas auxiliares, ya que se considera una operación relativamente pequeña y poco relevante en el modelo de la estructura como para separarse en un módulo propio.

Gestión Modos: Debido a la necesidad de incluir diferentes características en interacción directa con la escena, se decidió mantener la aplicación en diferentes estados o modos. De esta manera, por ejemplo, un click en la escena realizará diferentes acciones dependiendo de en qué modo se encuentre el usuario. Este pequeño módulo se encarga de gestionar adecuadamente el estado actual y el pasaje entre diferentes estados.

Gestión Materiales: Este subsistema mantiene la creación, modificación y eliminación de Materiales. Debido a la naturaleza de la característica, se accede al mismo mediante un formulario en un menú superior, donde se definen las propiedades de cada material.

Gestión Secciones: Este subsistema mantiene la creación, modificación y eliminación de Secciones. Al igual que en con los materiales, la interacción con dicho módulo se lleva a cabo mediante un formulario.

Gestión Nodos: Este subsistema mantiene la creación, modificación y eliminación de nodos. Los nodos pueden agregarse haciendo click en la escena o ingresando sus coordenadas manualmente. También se ofrece un formulario en donde se pueden agregar propiedades a los nodos: Fuerzas, Condiciones de desplazamiento y Resortes. Además, cada una de estas propiedades agrega a la escena diferentes elementos que indican el valor de cada una de ellas:

- Si se define en el nodo una fuerza aplicada, se dibuja su correspondiente vector apuntando a ese nodo.
- Si se define en el nodo una condición de desplazamiento en alguna de sus coordenadas, se dibuja una pequeña pirámide de color rojo donde su eje principal tiene la dirección de la propia coordenada en que se define.
- Si se define en el nodo un resorte en alguna de sus coordenadas, se dibuja una pequeña pirámide de color gris donde su eje principal tiene la dirección de la propia coordenada en que se define.

Gestión Barras: Este subsistema mantiene la creación, modificación y eliminación de barras. Las barras se agregan directamente en la escena, seleccionando un nodo inicial y un nodo final. También debe tener asignado un material y una sección, los cuales deben estar previamente definidos y pueden ser seteados una vez dibujada la barra. Se ofrece además la opción de definir propiedades «por

defecto», es decir, se elige un material y una sección, y todas las proximas barras que se dibujen tendrán seteadas dichas propiedades.

Gestión Visualización: Módulo encargado de gestionar la visualización de elementos indicativos en la escena, es decir, muestra u oculta los vectores, resortes y condiciones de desplazamiento definidos en la estructura. También ofrece la posibilidad de escalar los vectores presentes en la escena, de manera de no entorpecer la imagen cuando las fuerzas aplicadas son muy grandes.

Gestión Deformada: Subsistema encargado de gestionar la deformada obtenida del procesamiento de resultados. Ofrece operaciones para visualizar la estructura deformada, escalar deformaciones y colorear la estructura en base a los resultados.

Cada uno de estos subsistemas interactúa con los módulos «Escena», «Modelo» y «Deformada» de acuerdo a sus necesidades:

Modelo: Expone operaciones básicas para modificar el modelado de la estructura que se está ingresando. Cada vez que otro módulo necesite ingresar, modificar o eliminar un nodo, barra, material o sección, llamará a funciones contenidas en este módulo.

Deformada: Expone operaciones básicas para interactuar con la estructura deformada obtenida. Cada vez que el módulo de «Gestión Deformada» deba mover, colorear o transparentar un nodo o barra, se utilizarán funciones expuestas en este módulo

Escena: Expone operaciones básicas para interactuar con el espacio 3D. Cada vez que otro módulo necesite agregar o eliminar cualquier tipo de elemento del espacio 3D, se invocarán funciones expuestas en este módulo

Cámara: Mantiene el manejo de la cámara en la escena. Ejecuta funciones de desplazamiento, rotación y zoom.

De esta manera se define el sistema «IETFEM UI», el cuál interactúa con el sistema «IETFEM Core», que contiene el motor de cálculo, para totalizar lo que sería el IETFEM.

En la Figura 7 se puede preciar la distribución física de la versión estudiantil, donde todo se ejecuta en la máquina del usuario. Se observa la interfaz corriendo sobre un framework que simula ejecutar una aplicación de usuario, y el motor de cálculo en GNU-Octave, comunicándose manualmente mediante la acción del usuario.

En la Figura 8, se aprecia una posible distribución física para una posterior versión, en donde se propone separar físicamente la interfaz del motor. De esta manera se logra una mayor escalabilidad al poder replicar N servidores Web utilizando el mismo motor de cálculo. Se propone desplegar la interfaz en un servidor Web, mediante la cuál el usuario accede utilizando el protocolo estándar HTTP. El usuario dibuja la estructura de la misma manera que se realiza en la versión académica, pero al momento de ejecutar el motor, se consume un servicio

804 REST expuesto por un servidor de aplicación en donde se encuentra corriendo
805 el motor de cálculo, el cual provee a la interfaz con la estructura deformada.
806 Esto implica que el usuario sólo tenga que presionar un botón para deformar la
807 estructura, evitando el proceso de comunicación manual.

808 4.4. Tecnologías y herramientas utilizadas

809 4.4.1. HTML5 - JavaScript - CSS3

810 Existen ciertas tecnologías estándar e ineludibles al momento de desarrollar una
811 aplicación web. Éstas son HTML5[24], JavaScript[25] y CSS3[26]. A continua-
812 ción se describen brevemente las mismas.

813 **HTML** es un lenguaje de marcado para la elaboración de páginas web. Es un
814 estándar que sirve de referencia para su elaboración, definiendo una estructura
815 básica y un código para la definición de contenido como texto, imágenes, videos,
816 entre otros. En la actualidad se encuentra en su versión 5 la cual establece una
817 serie de funcionalidades, elementos y atributos que reflejan el uso típico de los
818 sitios web modernos.

819 **JavaScript**, abreviado comúnmente «JS», es un lenguaje de programación
820 interpretado, dialecto del estándar ECMAScript. Se define como orientado a
821 objetos, basado en prototipos, imperativo, débilmente tipado y dinámico. Se
822 utiliza principalmente del lado del cliente implementado como parte de los na-
823 vegadores web, permitiendo mejoras en la interfaz de usuario y aplicaciones web
824 dinámicas. Es el estándar de facto para scripting en la web y es interpretado por
825 todos los navegadores web.

826 **CSS**, actualmente en la versión 3, es un lenguaje de estilos que define la pre-
827 sentación de los documentos HTML. Esto abarca cuestiones relativas a fuentes,
828 colores, márgenes, altura, ancho, posicionamiento, etc. Una hoja de estilos fue
829 utilizada en el proyecto con el fin de definir algunos estilos de menús y for-
830 mularios, esto es en aquellos no definidos o para personalizar los definidos en
831 Bootstrap.

832 4.4.2. Bootstrap

833 Bootstrap [27] es un «*front-end framework*» *open source*, es la más popular de
834 las librerías HTML, CSS y JS para el desarrollo de páginas web *responsive* y
835 *mobile first*, diseñado para ayudar a construir componentes de la interfaz de
836 usuario.

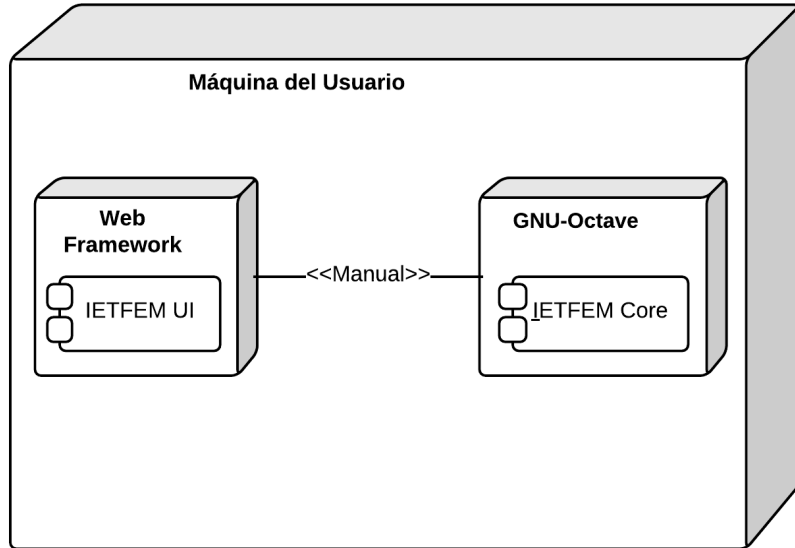


Figura 7: Diagrama de distribución física: IETFEM Estudiantil

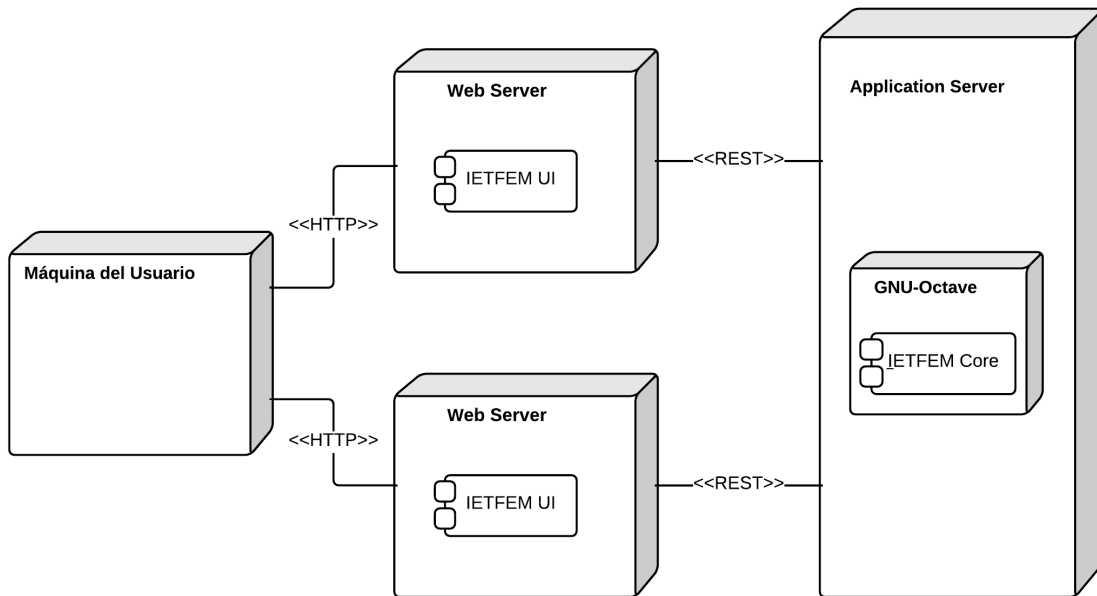


Figura 8: Diagrama de distribución física: IETFEM en la nube

837 Las principales características del *framework* - las cuales fueron ampliamente
838 utilizadas en el proyecto - son:

- 839 ■ Sistema de grillas *responsive* para posicionar todos los elementos de la
840 página de una manera sencilla.
- 841 ■ Estilos para controles de HTML.
- 842 ■ Componentes personalizados.
- 843 ■ Componentes JavaScript (Ej. Modals).

844 4.4.3. AngularJS

845 Es un *framework open source* mantenido por Google que tiene como objetivo
846 solucionar los principales problemas encontrados en el desarrollo de aplicaciones
847 web dinámicas.

848 AngularJs [28] propone la utilización de programación declarativa para las inter-
849 faces de usuario y programación imperativa para lógica de negocio. Implementa
850 el patrón MVC para separar la presentación, datos y lógica. Todo esto da como
851 resultado una aplicación prolija y testeable a nivel de código.

852 Principales características utilizadas:

- 853 ■ *emphTwo way data-binding*: esto permite mantener el modelo y la vista
854 (DOM) sincronizados sin necesidad de escribir código especial para man-
855 tener dicha sincronización.
- 856 ■ MVC.
- 857 ■ Directivas: sirven para agregar funcionalidad a HTML mediante tags HTML,
858 tanto *built-in* como personalizados.

859 4.4.4. ThreeJs

860 Dada la elección de realizar una solución web, la clara superioridad de WebGL
861 para las características gráficas, sumado a la baja productividad y dificultad de
862 desarrollo directamente sobre él, resultó necesario elegir un *framework* que lo
863 abstraiga.

864 En este sentido se decidió por ThreeJs por ser un proyecto activo, con la mayor
865 cantidad de funcionalidades, buena documentación y una gran comunidad.

866 En la sección 2.4.3 se describieron las características principales de este tipo de
867 librerías.

868 4.4.5. Electron

869 Es un *framework* que permite escribir aplicaciones de escritorio multiplataforma
870 usando HTML, JavaScript y CSS.

871 Esta herramienta permitió distribuir la aplicación de una manera más elegan-
872 te que en una carpeta con código y un archivo HTML para ejecutarlo en un
873 navegador local. A los ojos de los usuarios el producto final es una aplicación
874 nativa corriendo transparentemente una implementación mínima del navegador
875 Chromium, solucionando así también posibles problemas de compatibilidad con
876 algunos navegadores.

877 4.5. Manejo del espacio 3D

878 4.5.1. Eventos de usuario

879 El espacio 3D ocupa la mayor parte de la pantalla, y es donde se espera que el
880 usuario realice la mayor parte de interacciones posibles. Se busca que el usuario
881 pueda manejar la escena mediante el uso del mouse, por lo tanto, al inicializar
882 la aplicación se setean *EventListeners* a la ventana para cada tipo de acción
883 con el mouse. Esto significa que la aplicación estará pendiente de todos los
884 movimientos del mouse dentro de la escena. En particular, se tiene en cuenta el
885 movimiento de la cámara y en qué modo se encuentra la aplicación

886 Los eventos definidos son los siguientes:

- 887 ■ Para el click izquierdo:
 - 888 • Si el mismo se presiona y suelta en el mismo lugar:
 - 889 ○ Si se encuentra en modo agregar nodos, y se hace el click encima
 - 890 de un punto de una grilla definida, se agrega el nodo.
 - 891 ○ Si se encuentra en modo agregar barras, y se hace el click encima
 - 892 de un nodo, se selecciona el mismo para agregar una barra desde
 - 893 o hacia él.
 - 894 ○ Si se encuentra en modo seleccionar, y se hace el click sobre
 - 895 un nodo o barra, se selecciona el elemento para modificar sus
 - 896 propiedades.
 - 897 ○ Si se encuentra en otro modo, no realiza ninguna acción.
 - 898 • Si el mismo se presiona y se arrastra, se rota la cámara, siempre
 - 899 apuntando al centro de la escena (sin importar el modo).
- 900 ■ Para el click derecho, se desplaza la cámara en dirección a donde se arrastre
- 901 (sin importar el modo).

- 902 ■ Para el scroll del mouse, se hace zoom in o zoom out dependiendo de la
903 dirección del movimiento (sin importar el modo).
- 904 ■ Para el movimiento del mouse, cuando no se presiona nada, se resalta en
905 color celeste los nodos o barras a los cuáles se les hace Hover (sin importar
906 el modo).

907 4.5.2. Adición, sustracción y transformación de objetos

908 El espacio 3D desarrollado se implementó como un objeto de ThreeJs denomina-
909 do *Scene*, el cual provee operaciones *add()* y *remove()* para agregar y eliminar
910 objetos del mismo. Internamente, una *Scene* contiene una gran cantidad de
911 atributos, entre los que se encuentran la posición, rotación, escalamiento por
912 coordenada, y una lista de objetos en donde se almacenan los elementos que
913 conforman la escena.

914 Una vez definida la escena se agregan los primeros elementos: se utiliza el objeto
915 *GridHelper* provisto por ThreeJS para definir una grilla auxiliar y se agregan 3
916 vectores definiendo los ejes *x*, *y* y *z*.

917 El resto de los objetos que se agregan a la escena se definen como objetos *Mesh*
918 de ThreeJS, definidos por una geometría y un material:

- 919 ■ La geometría de un objeto define su figura geométrica, define si se trata
920 de un cilindro, una esfera, etc.
- 921 ■ El material de un objeto define cómo se ve el mismo en pantalla, es decir,
922 su color, transparencia, escalamiento, etc.

923 Para representar los nodos se decidió utilizar esferas y para representar las barras
924 se decidió utilizar cilindros. Esta decisión se basa en que son figuras geométricas
925 fácilmente escalables, es decir, si se quiere cambiar el tamaño de un nodo o
926 barra, solo basta con cambiar el radio de su geometría. Por ejemplo, cuando
927 se selecciona un nodo para modificar sus propiedades, el mismo aumenta su
928 tamaño y cambia su color. Esto se logra siguiendo el siguiente proceso:

- 929 1. Se obtiene el objeto que se quiere modificar de la lista de objetos de la
930 Escena.
- 931 2. Se genera una nueva geometría, en este caso, una esfera más grande.
- 932 3. Se genera un nuevo material, en este caso, el mismo que existía pero con
933 un color diferente.
- 934 4. Se asignan el material y la geometría nuevos al objeto obtenido en el paso
935 1.
- 936 5. Se renderiza la imagen.

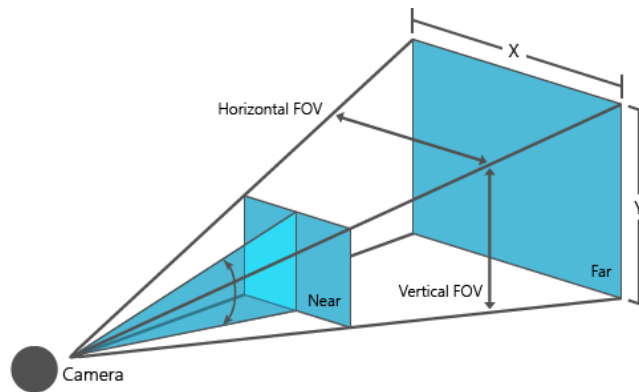


Figura 9: Definición de la cámara en ThreeJS

El renderizado se ejecuta cada vez que se realiza una acción en la escena. Esto significa que cada vez que un usuario modifica la estructura, los cambios quedan inmediatamente reflejados en el espacio 3D. De esta manera logramos una experiencia fluida y totalmente interactiva de dibujado donde la manipulación de la estructura se vuelve una tarea sencilla e intuitiva.

4.5.3. Manejo de la cámara

Una de las prestaciones más grandes que fue percibida en ThreeJS al momento de la investigación fue el sencillo manejo de la cámara. Three provee de un objeto denominado *Camera*, el cuál se define asignando el tamaño del *viewport*, hacia dónde apunta, los planos «*near*» y «*far*» que determinan qué objetos se ven dependiendo de su distancia a la cámara, etc (véase la Figura 9). Incluso permite definir el tipo de perspectiva en que se visualizará el resto del espacio. Una vez definida se setea la misma a la escena, logrando de esta sencilla manera obtener la visualización del espacio 3D.

Hasta el momento, sólo se colocó la cámara en el espacio, sin resolver aún el problema del movimiento de la misma. Aquí es donde entran en juego los llamados «*Controls*». ThreeJS ofrece en su página web y de manera libre diferentes tipos de controles para la cámara, es decir, movimientos que pueden ser asignados a la misma. En particular, el control *OrbitControls* cumple con todas las características que se buscan para la interfaz: permite rotar la cámara y desplazarla por todo el espacio. Por lo tanto se agregó dicha clase al proyecto y se seteo a la cámara previamente definida.

Al observar la simplicidad del manejo de la cámara utilizando esta herramienta web, se decidió agregar otro juego de cámara-escena en la esquina inferior, la cual siempre apunta a los ejes e imita los movimientos de rotación de la principal, de manera de mantener una referencia al usuario en caso que deba alejarse

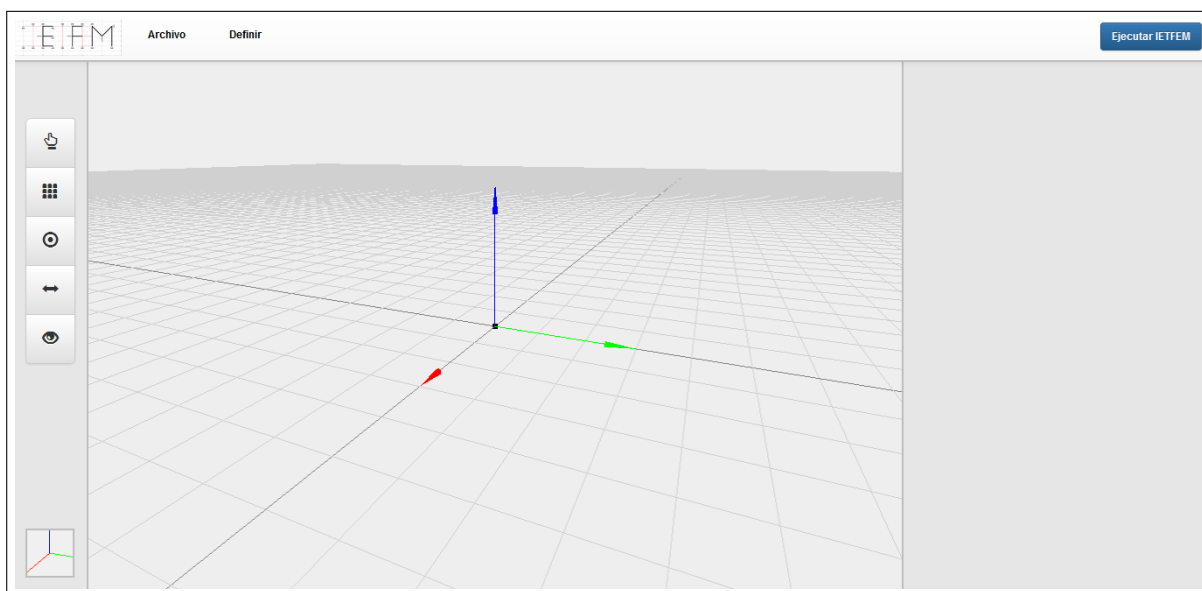


Figura 10: Visualización del Espacio desde la cámara en Perspectiva. También puede observarse la segunda cámara con los ejes en la esquina inferior izquierda.

demasiado del origen.

El resultado puede observarse en la Figura 10, se utilizó una cámara en perspectiva en conjunto con los controles mencionados.

4.5.4. Trazado de rayos e intersecciones con objetos

El problema de la traza de rayos en la interfaz tomó una significativa importancia, debido a que se quiere interactuar con un espacio 3D mediante una superficie bidimensional como lo es la pantalla de una PC. Esto implica por ejemplo que cuando uno hace click en la pantalla, en realidad no se está marcando un punto, sino que se está trazando un rayo entre la cámara y la posición del click, por lo tanto, no se sabe con exactitud en que coordenadas exactas quiere el usuario agregar el nodo.

En este sentido, la definición de grillas auxiliares se establece como una solución excelente a este problema. Mediante esta funcionalidad, el cliente define cuadrículas auxiliares que se dibujan en la pantalla, marcando líneas y nodos levemente transparentados.

De esta manera, cuando el usuario hace clicks en la pantalla, se traza el correspondiente rayo entre la cámara y la posición del click, y si ese rayo intersecta un nodo de alguna grilla, entonces se agrega dicho nodo a la estructura. Dicha estrategia se utiliza también cuando el sistema se encuentra en modo seleccionar:

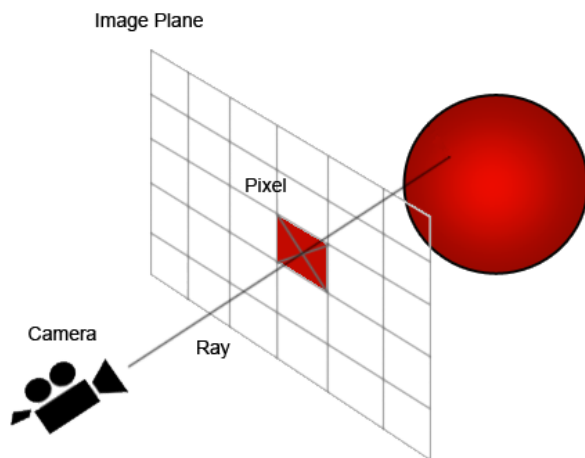


Figura 11: Ejemplo de traza de un rayo entre la cámara y el click del usuario

Se traza un rayo, y si intersecta con un nodo o barra, se destaca el elemento y se cargan sus propiedades para ser modificadas. En la figura 11 puede apreciarse el método descrito anteriormente

ThreeJS provee un objeto denominado *RayCaster* que traza un rayo dado un origen y un vector de dirección. Este objeto expone el método *intersects()*, que dada una lista de objetos, retorna la intersección del rayo con los mismos, obteniendo de esta manera el objeto al cual el usuario intenta referirse.

4.6. Manejo de datos

A pesar de que la estructura se visualiza de manera muy simple en el espacio 3D, se mantiene en segundo plano un complejo modelo que encapsula la información dibujada por el usuario. Es necesario mantener todos los nodos, barras, materiales, secciones, grillas y opciones que el usuario ingresó, ya que en un momento deberá extraer toda la información de la estructura para ingresar en el motor.

4.6.1. Entrada y mantenimiento de información

Como se ha mencionado en reiteradas ocasiones, el usuario puede ingresar la estructura ya sea dibujando una nueva como abriendo una previamente guardada. Cada vez que el usuario modifica elementos en la escena, los mismos cambios se realizan en el modelo que se almacena, manteniendo constante sincronización.

En las Figuras 4.6.1 y 4.6.1 se puede observar la correspondencia entre el dibujo

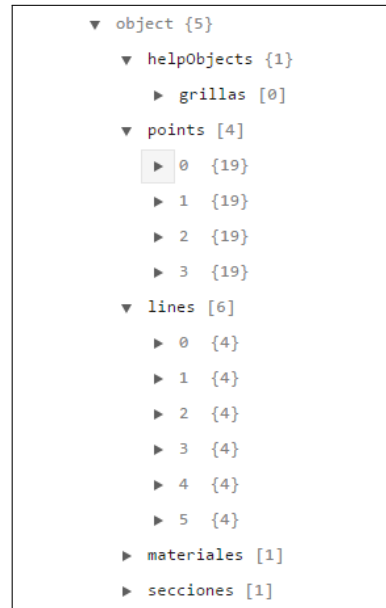
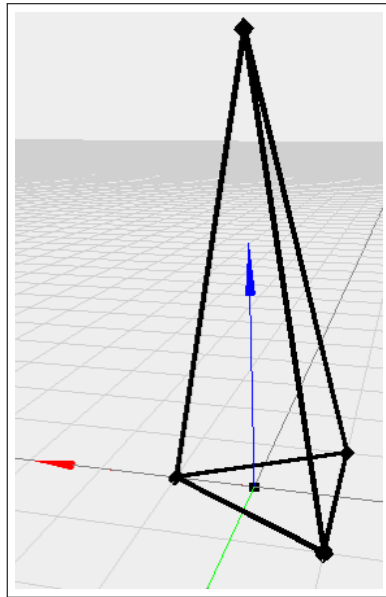


Figura 12: Correspondencia entre dibujo en la escena y el modelo mantenido en segundo plano

1002 presentado al usuario y el modelo que se mantiene en segundo plano. Se observan
 1003 los nodos, barras, materiales, secciones y grillas definidas en el dibujo. Se hablará
 1004 más sobre cómo se almacena la estructura en la siguiente sección.

1005 La entrada de datos mediante el dibujo se realiza elemento por elemento. El
 1006 usuario siempre ingresa un nodo o barra a la vez, lo que hace que la sincroni-
 1007 zación entre la escena y el modelo sea realmente sencilla. Sin embargo, cuando
 1008 se carga una estructura previamente guardada, la misma se vuelve realmente
 1009 complicada, ya que debe limpiarse tanto la escena como el modelo y cargar
 1010 ambos con la nueva información, asegurándose de mantener la consistencia en-
 1011 tre los mismos. Esto se logra mediante una fuerte relación entre el módulo que
 1012 manipula el modelo y el que manipula la escena. Cada vez que se modifica cual-
 1013 quier aspecto de la estructura, se invocan operaciones de dichos módulos que
 1014 no sólo realizan el propio cambio, sino que aseguran mantener la consistencia
 1015 una vez finalizado. Esto significa, por ejemplo, que cargar una nueva estructu-
 1016 ra, se traduce internamente en una secuencia finita de llamados a operaciones
 1017 más sencillas como «Agregar nodo» o «Agregar barra» las cuales mantienen el
 1018 sistema en un estado de sincronía.

1019 4.6.2. Almacenamiento de la estructura

1020 Si bien en la escena provista por Three se almacenan todos los objetos contenidos
1021 en la escena, se consideró que debía mantenerse otro tipo de objeto en donde
1022 se almacenaran los datos ingresados por el usuario. Esta decisión se basa en
1023 que el objeto Escena puede ser difícil de manejar debido a la gran cantidad de
1024 atributos que posee, además de que sería necesario sobrecargar cada objeto de
1025 Three para agregar los atributos nuevos (propiedades de las barras y nodos).

1026 Básicamente, cada vez que se agrega un elemento a la escena, el mismo se agrega
1027 también al modelo. En particular se almacenan los siguientes aspectos:

1028 ■ Nodos:

- 1029 • Coordenadas x, y y z .
- 1030 • Valores de condiciones de desplazamiento para x, y, z .
- 1031 • Valores de resortes para x, y, z .
- 1032 • Fuerza aplicada en el punto (coordenadas x, y, z).
- 1033 • Id de la esfera dibujada en la escena correspondiente al nodo.
- 1034 • Id del vector dibujado en la escena correspondiente a la fuerza apli-
1035 cada en el nodo.
- 1036 • Id de cada pirámide dibujada en la escena que indica una condición
1037 de desplazamiento en el nodo.
- 1038 • Id de cada pirámide dibujada en la escena que indica un resorte en
1039 el nodo

1040 ■ Barras:

- 1041 • Id del nodo inicial.
- 1042 • Id del nodo final.
- 1043 • Id del cilindro dibujado en la escena correspondiente a la barra.
- 1044 • Material de la barra.
- 1045 • Sección de la barra.

1046 ■ Materiales:

- 1047 • Nombre.
- 1048 • Modulo de Young.
- 1049 • $\Gamma(\gamma)$.
- 1050 • $\alpha(\alpha)$.
- 1051 • $\nu(\nu)$.

1052 ■ **Secciones:**

1053 • $\text{Área}(\mu)$.

1054 ■ **Grillas:**

1055 • Id de cada objeto de la grilla dibujado en la escena (puntos y líneas).

1056 A modo de aclaración, se destaca la presencia en el modelo de los ids generados
1057 por Three para cada objeto generado en la escena. Esto se debe a que debe
1058 mantenerse una referencia entre cada elemento del modelo y su correspondiente
1059 objeto en la escena, ya que cualquier modificación que se realice debe aplicar
1060 a ambos. Por ejemplo, cuando se elimina un nodo, debe eliminarse tanto del
1061 modelo como de la imagen en el espacio 3D. En este caso el proceso sería:

1062 ■ El usuario hace click en un nodo.

1063 ■ Se traza un rayo entre la cámara y el pixel, el cuál intersecta con el nodo
1064 deseado.

1065 ■ Se obtiene el id del objeto en la escena.

1066 ■ Con ese id, se obtiene el objeto del modelo.

1067 ■ Se elimina el objeto del modelo.

1068 ■ Se elimina el objeto de la escena.

1069 ■ Se renderiza.

1070 **4.6.3. Salida de Datos**

1071 Una vez finalizado el proceso de dibujo, el usuario debe obtener un documento
1072 con la especificación de la estructura que pueda ser ingresado en el motor. Para
1073 comprender la solución propuesta, debe recapitularse hacia el uso del IETFEM
1074 antes de la realización de este proyecto.

1075 Los estudiantes ingresaban la estructura mediante un archivo de especificación
1076 en la que debían escribir la posición de cada nodo, la conectividad de cada uno
1077 de ellos, los materiales implicados, secciones, y otros aspectos de la estructura y
1078 de configuración. Esto debía hacerse además respetando un formato predefinido
1079 el cuál derivaba en un fallo del motor en caso de ser omitido, incluyendo saltos
1080 de línea y espacios para separar valores.

1081 De esta manera, resultaba sumamente tedioso para el estudiante lograr final-
1082 mente el texto correcto con la estructura deseada. Sin embargo esta propiedad
1083 del antiguo IETFEM resultó ser de suma utilidad, ya que, intentando reducir
1084 al máximo el trabajo realizado en el motor, se decidió utilizar el mismo archivo
1085 de entrada al mismo.

1086 Esto quiere decir que la interfaz toma la responsabilidad de generar el archivo
1087 de texto que antes debía escribirse a mano, a partir del dibujo realizado por

1088 el estudiante. La interfaz recorre cada aspecto del modelo definido y va con-
1089 feccionando un archivo .txt manteniendo el formato predefinido por el Motor.
1090 Además, mantiene un formato legible para el usuario, con títulos y nombres
1091 para cada propiedad a definir.

1092 4.7. Análisis de resultados del Core

1093 Hasta ahora se ha descrito cómo el usuario interactúa con el sistema para
1094 generar una estructura. Sin embargo, el sistema incluye además la funcionalidad
1095 de visualizar los resultados generados por el motor de cálculo, logrando un nivel
1096 aún más alto de amigabilidad.

1097 4.7.1. Generación de resultados

1098 IETFEF generaba, hasta antes de la presencia de la interfaz, diferentes imá-
1099 genes y gráficas correspondientes a la deformación resultante de la estructura
1100 especificada. La adición de la interfaz en el sistema implicó deprecitar el sistema
1101 de generación de imágenes, ya que ahora, la estructura deformada se vería en la
1102 interfaz. Por lo tanto, debía definirse un nuevo modelo de salida del motor para
1103 lograr ser interpretado por la interfaz.

1104 La solución que se implementó consta simplemente de agregar al archivo .txt
1105 recibido, dos matrices con los resultados obtenidos de los cálculos realizados:

- 1106 ■ Una matriz que contiene el desplazamiento de cada nodo en cada coorde-
1107 nada.
- 1108 ■ Una matriz que contiene los valores de deformación, fuerza y tensión de
1109 cada barra.

1110 Se decidió que en la salida del motor debía incluirse el mismo texto que se recibió,
1111 de modo de poder corroborar en la interfaz que se están intentando procesar
1112 los resultados de la misma estructura que se generó, evitando así problemas de
1113 consistencia y compatibilidad.

1114 4.7.2. Introducción de datos en la UI

1115 Luego de generar el texto con la especificación de la estructura, la interfaz queda
1116 en un estado de espera, mientras el usuario obtiene dicho archivo y lo ingresa
1117 en el motor. Una vez finalizado el proceso, el cliente carga el archivo resultante
1118 en la interfaz y comienza el procesamiento del mismo.

1119 El primer caso consta de separar las 2 matrices resultantes del resto del archi-
1120 vo. De esta manera, se compara el texto generado con el que se recibió, con el
1121 objetivo de verificar si se trata de la misma estructura. En caso afirmativo, se

1122 define un nuevo objeto:«Deformada», donde se replican todos los nodos exis-
1123 tentes en el modelo, aplicando a cada uno los desplazamientos obtenidos en la
1124 primer matriz. Es importante destacar que la conectividad de la estructura no
1125 se ve alterada, por lo tanto no es necesario recibir dicha información en el pro-
1126 cesamiento, simplemente se replican todas las barras especificadas en el modelo
1127 original, agregando a cada una la información de deformación, fuerza y tensión
1128 aplicada a cada una de ellas.

1129 Finalmente, una vez que se logra modelar la estructura deformada, se dibuja la
1130 misma en la escena, superpuesta con la estructura original, de modo de apreciar
1131 las diferencias entre una y otra.

1132 4.7.3. Visualización

1133 Finalmente se tiene la estructura deformada dibujada en la escena. A partir de
1134 este momento, se ofrecen al usuario ciertas opciones para comprender mejor el
1135 resultado que se está observando:

- 1136 ■ **Transparencia:** El usuario puede elegir transparentar levemente la es-
1137 tructura original o la deformada, de forma de resaltar una u otra de acuer-
1138 do a qué se esté analizando.
- 1139 ■ **Escalamiento:** Algunas estructuras sufren de deformaciones realmente
1140 pequeñas, poco apreciables a la vista. Por lo tanto, se incluye una fun-
1141 cionalidad para escalar interactivamente la deformada. Esto significa que
1142 puede multiplicarse los desplazamientos por un número positivo con el
1143 fin de observar hacia dónde se realiza el desplazamiento de la estructura.
1144 Para hacer esto posible, simplemente se multiplica el desplazamiento de
1145 cada nodo por coordenada por el factor de escalamiento ingresado por el
1146 usuario, manteniendo la conectividad de la misma.
- 1147 ■ **Colorizado:** Esta funcionalidad permite al usuario cambiar la colorización
1148 de la estructura dependiendo de los valores recibidos de las propiedades de
1149 las barras asignados en la deformada. Es decir, que el usuario puede elegir
1150 colorear cada barra de la estructura tomando en cuenta su deformación,
1151 fuerza o tensión. Se utilizan escalas de rojo para valores negativos y escalas
1152 de verde para valores positivos. Esto se logró recorriendo el modelo de la
1153 estructura deformada y cambiando el material que conforma cada barra
1154 por el color correspondiente a su valor.

1155 5. Resultados obtenidos

1156 5.1. Comparación IETFEM con y sin UI

1157 5.1.1. Análisis del impacto en la usabilidad

1158 El nacimiento de la propuesta del proyecto fue motivada casi en un 100 % en
1159 mejorar la usabilidad de una herramienta que ya resolvía de forma altamente
1160 satisfactoria los problemas para la que fue diseñada. En este sentido, se logro
1161 solucionar varios problemas que atentaban contra la amigabilidad de la herra-
1162 mienta tales como:

- 1163 ■ Generación automática de la entrada para el motor gráfico en GNU-
1164 Octave, evitando trabajo manual por parte del usuario e archivo altamente
1165 estructurado en el que se pueden introducir muchos errores. Además, di-
1166 cho archivo crece rápidamente, haciéndolo muy difícil de manejar para
1167 estructuras de un tamaño mediano.
- 1168 ■ Manipulación visual y en tiempo real de la estructura que se esta gene-
1169 rando.
- 1170 ■ Experiencia de modelado similar a la utilizada por herramientas comer-
1171 ciales del rubro, lo cual aporta no solo a la usabilidad, sino que también
1172 prepara a los estudiantes para la utilización de las mismas en ambientes
1173 profesionales.
- 1174 ■ Reducción del tiempo de procesamiento de la salida en comparación al tiempo
1175 de generación de gráficos de IETFEM sin interfaz gráfica.
- 1176 ■ Guía y simplifica al usuario el flujo de trabajo para integrar su estructura
1177 dibujada con el motor y llevar a cabo la ejecución de los cálculos.

1178 La mejora en la usabilidad es percibida, no solo por la opinión del equipo de
1179 desarrollo y los docentes tutores, sino por la opinión de alumnos de años ante-
1180 riores que utilizaron la herramienta sin la interfaz gráfica e interactuaron con la
1181 misma en la muestra de ingeniería del presente año.

1182 5.1.2. Análisis del impacto en el tiempo de ejecución

1183 El segundo objetivo planteado en este proyecto trata sobre mejorar la eficiencia
1184 del sistema, lo que sin duda representó un desafío tomando en cuenta la potencia
1185 con la cual cuenta el motor de cálculo para resolver problemas estructurales.

1186 En consecuencia, se buscó reducir en particular el tiempo de ejecución, logrado
1187 una significativa mejora que se puede apreciar en los casos de prueba en la
1188 siguiente sección. Debido a la presencia de la interfaz, el motor cuenta con ciertas
1189 funcionalidades que ya no son requeridas. Para ilustrar este caso, se observa el
1190 funcionamiento del antiguo motor y las mejoras que se realizaron:

1191 Cuando uno ejecuta el IETFEM antiguo, se le plantean una serie de preguntas
1192 iniciales, las cuáles incluyen:

- 1193 ■ Idioma a manejar(Español e Inglés).
- 1194 ■ Tipo de problema (Reticulados, pórticos o arcos).
- 1195 ■ Dimensiones del problema de problema(1D, 2D o 3D).
- 1196 ■ Pequeñas o grandes deformaciones.
- 1197 ■ Nombre del archivo donde está especificada la estructura.

1198 Debido a que se decidió que la interfaz resuelva problemas de pequeñas deforma-
1199 ciones en reticulados, y que todos los problemas se ingresan en 3 dimensiones, se
1200 redujo este grupo de opciones solamente al idioma y el nombre del problema. Se
1201 decidió que el idioma esté seteado por defecto, debido a que la interacción direc-
1202 ta con el motor pasó a ser casi nula. Por lo tanto, cuando uno ejecuta el motor
1203 sólo debe especificar el archivo con la estructura, eliminando una significativa
1204 cantidad de tiempo muerto al comienzo de cada ejecución.

1205 Respecto al archivo con la estructura mencionado, se redujo el tiempo de confec-
1206 ción del mismo, ya que el dibujado se realiza de manera más ágil y sencilla que
1207 ingresando cada coordenada y propiedad manualmente. Poder ver la estructura
1208 en el proceso, disminuye los errores de conectividad y asignación de propiedades,
1209 apoyos, etc, los cuales significaban errores usuales. Además, también se evita al
1210 usuario de problemas de sintaxis al escribir el archivo, ya que la interfaz se
1211 aseguró de generar el archivo con el formato exacto que necesita el motor.

1212 Otro aspecto a destacar, es la eliminación de funciones de graficado del motor.
1213 Se observó que eliminando la generación de imágenes desde el mismo se obtiene
1214 una gran mejora en tiempos de ejecución. Se verá el impacto de esta medida en
1215 los casos estudiados en la siguiente sección.

1216 Por último, apreciamos la mejora del escalamiento de la deformada. En el an-
1217 tigo IETFEM, el escalamiento de la deformada era otro atributo que se espe-
1218 cificaba en el archivo de entrada, por lo tanto, si uno quería modificar dicho
1219 valor debía editar el archivo y ejecutar el IETFEM nuevamente, repitiendo el
1220 proceso hasta encontrar el valor deseado. En la nueva versión, con la interfaz
1221 incluida, este valor es modificado directamente en la interfaz, luego de ingre-
1222 sar el resultado del motor, evitando al usuario tener que ejecutar nuevamente el
1223 motor.

1224 5.2. Casos de prueba

1225 5.2.1. Estudio de casos de pequeño porte (Torre pequeña)

1226 El primer caso a probar consta de una estructura representando una pequeña
1227 torre. La misma se asemeja a las estructuras que se realizan en el curso de

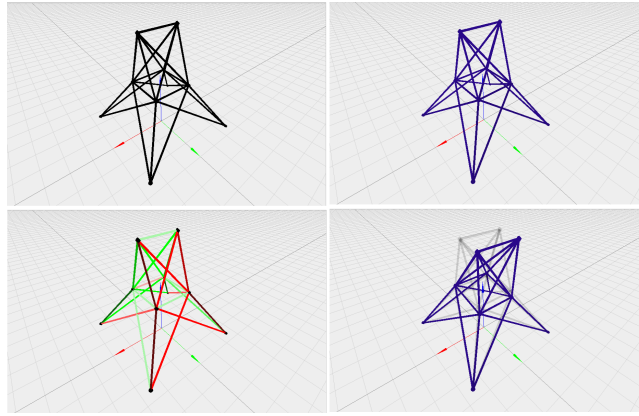


Figura 13: Caso de Estudio: Torre pequeña

1228 Elasticidad en el que se utilizará la herramienta. Cuenta con 10 nodos y 25
1229 barras.

1230 La ejecución del mismo se llevó a cabo en etapas tempranas de desarrollo e
1231 integración con el motor, ayudando en el proceso de descubrimiento de *bugs* y
1232 resolución de los mismos.

1233 Una vez finalizada la primer versión, se probaron todos los casos de uso espe-
1234 cificados, respondiendo a los mismos con resultados positivos y ejecutando con
1235 excelente fluidez. En la Figura 13 se puede ver la estructura y los resultados
1236 obtenidos. Se aprecia la estructura indeformada y la deformada en color púrpu-
1237 ra. También se puede ver la torre sometida a un factor de escala de 200, con el
1238 fin de apreciar mejor los desplazamientos de la misma. Por último, se coloreó
1239 la estructura de acuerdo a la deformación de cada barra, de manera que puede
1240 observarse en rojo las barras que se comprimen y en verde las que se traccionan.

1241 En cuanto a tiempos de ejecución, se observa una significativa mejora, conse-
1242 cuencia de eliminar el módulo de generación de imágenes del motor. Si se ejecuta
1243 la torre en cuestión en el antiguo IETFEM, los resultados son los siguientes:

- 1244 ■ **Lectura de datos:** 0.227 segundos
- 1245 ■ **Cálculo de parámetros internos:** 0.031 segundos
- 1246 ■ **Resolución del problema:** 0.017 segundos
- 1247 ■ **Generación de imágenes:** 370.803 segundos
- 1248 ■ **Generación de TXTs:** 0.281 segundos
- 1249 ■ **Generación de TEXs:** 0.499 segundos
- 1250 ■ **TIEMPO TOTAL:** 371.849 segundos

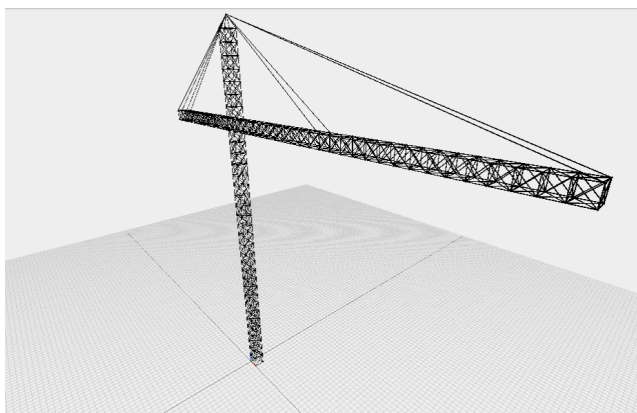


Figura 14: Caso de Estudio: Grúa

1251 Se observa que el tiempo de generación de imágenes supera el 99 % del tiempo
 1252 total de ejecución, mientras que la resolución del problema en sí se logra en
 1253 menos de 1 segundo.

1254 En el nuevo IETFEM, la ejecución del mismo archivo muestra los siguientes
 1255 números:

- 1256 ■ **Lectura de datos:** 1.222 segundos
- 1257 ■ **Cálculo de parámetros internos:** 0.024 segundos
- 1258 ■ **Resolución del problema:** 0.013 segundos
- 1259 ■ **TIEMPO TOTAL:** 1.259 segundos

1260 De esta manera, eliminando el proceso de generación de imágenes se ganan más
 1261 de 5 minutos de eficiencia. Sin embargo, es necesario tomar en cuenta también
 1262 el tiempo que tarda la interfaz en generar el archivo y el tiempo que tarda en
 1263 procesar los resultados:

- 1264 ■ **Generación del archivo:** 0.102 segundos
- 1265 ■ **Carga de resultados:** 0.621 segundos
- 1266 ■ **TIEMPO TOTAL:** 0.723 segundos

1267 Se logra así un tiempo total de procesamiento 1.982 segundos entre la descar-
 1268 ga/carga de archivos y procesamiento del motor.

1269 5.2.2. Estudio de casos de mediano porte (Grúa)

1270 El siguiente paso en la prueba del sistema fue utilizar un modelo de estructura
 1271 más grande. El modelo elegido fue una grúa, que puede observarse en la Figura

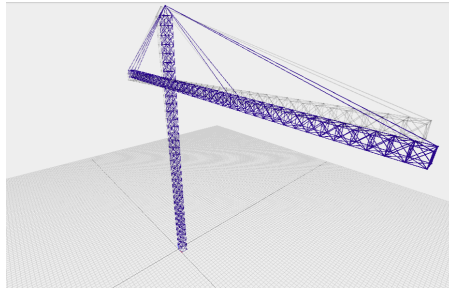


Figura 15: Deformación de la grúa

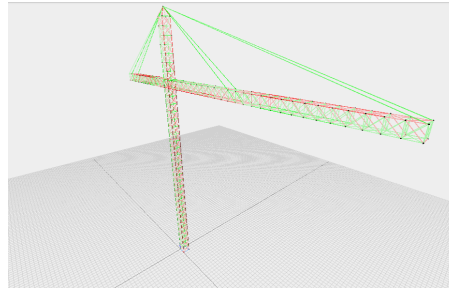


Figura 16: Coloración de la grúa

1272 14. Dicha estructura cuenta con 289 nodos y 1294 barras, lo que se considera
 1273 un alto nivel de datos considerando el objetivo académico de la estructura. Esto
 1274 quiere decir que en el curso donde se pondrá en producción el nuevo IETFEM,
 1275 el estudiante nunca deberá dibujar una estructura de semejante tamaño. Por lo
 1276 tanto, consideramos en un principio este caso como una prueba de stress.

1277 No se detectaron bugs de integración con el motor en la ejecución de este caso.
 1278 El mismo fue ejecutado y perfeccionado poco antes de la muestra de Ingeniería
 1279 de este año, con el fin de demostrar la potencia y versatilidad de la aplicación.
 1280 Los casos de uso se ejecutaron sin problemas, notando un nivel alto de fluidez
 1281 al moverse por el espacio.

1282 En las figuras 15 y 16 se ven los resultados de su ejecución. Se nota la deformación
 1283 obtenida sin necesidad de realizar escalamiento alguno. La colorización de la
 1284 estructura se logró de manera óptima y es coherente con la deformación de la
 1285 misma.

1286 En cuanto a tiempos de ejecución, en el IETFEM antiguo se obtuvieron los
 1287 siguientes números:

- 1288 ■ **Lectura de datos:** 5.196 segundos
- 1289 ■ **Cálculo de parámetros internos:** 0.766 segundos
- 1290 ■ **Resolución del problema:** 0.502 segundos
- 1291 ■ **Generación de imágenes:** 1598.457 segundos
- 1292 ■ **Generación de TXTs:** 1.543 segundos
- 1293 ■ **Generación de TEXs:** 7.555 segundos
- 1294 ■ **TIEMPO TOTAL:** 1613.851 segundos

1295 Mientras que en el nuevo IETFEM, los resultados fueron los siguientes:

- 1296 ■ **Lectura de datos:** 7.347 segundos
- 1297 ■ **Cálculo de parámetros internos:** 0.508 segundos

1298 ■ **Resolución del problema:** 0.339 segundos

1299 ■ **TIEMPO TOTAL:** 8.194 segundos

1300 Sumamos el tiempo de descarga/carga del archivo desde la interfaz como en el

1301 caso anterior:

1302 ■ **Generación del archivo:** 0.122 segundos

1303 ■ **Carga de resultados:** 1.334 segundos

1304 ■ **TIEMPO TOTAL:** 1.456 segundos

1305 Lo que hace que el tiempo total de procesamiento sea de 9.650 segundos, lo-

1306 grado una ejecución 167 veces más rápida que sin la interfaz

1307 5.2.3. Estudio de casos de gran porte y performance (Torre Eiffel)

1308 Luego de lograr un caso exitoso con la grúa, se estableció que la herramienta

1309 cumplía los requisitos necesarios para poder ser utilizado en el curso de Elastici-

1310 dad. Sin embargo, se decidió intentar un caso aún más masivo para observar su

1311 comportamiento. El modelo elegido fue la Torre Eiffel, la cual cuenta con 9746

1312 barras y 2077 nodos.

1313 Lo primero que se observó al cargar el modelo en la interfaz, fue una notoria

1314 baja calidad en el movimiento en la cámara. Debido a la masividad de objetos

1315 ingresados en la escena, el renderizado consumía demasiado tiempo y le quitaba

1316 fluidez a la aplicación.

1317 Motivados por la experiencia de renderizar una estructura enorme como la Torre

1318 Eiffel, se comenzó una investigación por parte del equipo de desarrollo de estra-

1319 tegias para atacar dicho problema y mejorar así el rendimiento de la aplicación.

1320 Si bien la mayoría de los fixes no serían realizados debido a que la aplicación ya

1321 soporta con creces los casos de uso para los que fue diseñada, dicha investiga-

1322 ción resulta útil como base para trabajos futuros y por la adquisición de valioso

1323 conocimiento académico.

1324 Derivado de la investigación se presentan algunas medidas que se podrían tomar:

- 1325 ■ Utilizar `threeex.renderstats`[30], un monitor que nos da información útil
- 1326 sobre la escena como *draw calls* o cantidad de geometrías lo cual nos puede
- 1327 ayudar a tomar medidas correctivas.
- 1328 ■ Ahorrar en la cantidad de geometrías y materiales reutilizando en la medi-
- 1329 da de lo posible. Existen experiencias en la web que dicen que la velocidad
- 1330 de renderizado se incrementa 4.5 veces para 2000 cubos iguales. (Esta es
- 1331 una medida implementada)
- 1332 ■ En el caso de utilizar la geometría esfera, utilizarla con parámetros que
- 1333 deriven en una figura con menor cantidad de caras. Según la investigación
- 1334 la mejora de performance es muy baja.

- 1335 ■ En lugar de añadir las geometrías de forma individual en la escena, utilizar
1336 la técnica de mergear o unir las mismas en un solo gran objeto. Esta
1337 técnica resulta en una mejora substancial en la cantidad de FPS (Frame
1338 per second) en la aplicación. De acuerdo a la investigación, se obtiene
1339 que se pueden renderizar 120000 cubos a 30FPS mientras que sin esta
1340 técnica solo 2000. Aunque la mejora es muy importante, esta forma de
1341 trabajo deriva en una complicación a nivel de código importante, debido a
1342 que resulta más difícil manipular los objetos individualmente en la escena
1343 como en los casos de selección o borrado de objetos.
 - 1344 ■ Utilizar estructuras de datos más performantes como el octree para tareas
1345 como raycasting.
 - 1346 ■ Utilizar *web workers*[29] con el fin de paralelizar operaciones de calculo
1347 que requieran gran procesamiento con el fin de no interferir con el thread
1348 de la UI.
 - 1349 ■ Utilizar *custom shaders*[29] en caso de encontrar un caso factible.
 - 1350 ■ Eliminar la funcionalidad que implica resaltar barras y nodos al hacer
1351 *hover* sobre ellas. Dicha funcionalidad implica un constante *raycasting*
1352 de manera de saber que objetos intersectan con la posición del mouse.
1353 Esta medida se implementó, logrando una mejora mínima, aunque luego
1354 se decidió descartar esta medida debido a que se considera que no vale
1355 la pena eliminar esta funcionalidad para mejorar en poca medida casos
1356 inalcanzables.
- 1357 Con respecto a la ejecución del caso en la interfaz, se debe tener en cuenta que
1358 además de mantener la escena, el navegador debe mantener por detrás el modelo
1359 de la estructura con todas sus características. Además, una vez que se procesan
1360 los resultados del motor, se agregan todos los datos de la deformada, lo que hace
1361 que el navegador falle en algunos casos por problemas de memoria.
- 1362 En una versión futura del sistema, este problema podría arreglarse, por ejemplo,
1363 manteniendo la estructura persistida en una base de datos, eliminando carga del
1364 navegador. Sin embargo, para la versión académica se conoce que el alcance es
1365 mucho menor y que nunca se utilizará una estructura de semejante porte. Por
1366 lo tanto, consideramos que el caso estudiado aportó al proyecto al mejorar la
1367 performance del mismo, pero se expone como un límite conocido el número de
1368 elementos de la estructura, sabiendo que para 1500 elementos(grúa), el sistema
1369 funciona perfectamente.

1370 6. Conclusiones y trabajo futuro

1371 6.1. Conclusiones

1372 Habiendo finalizado con la implementación de la interfaz «IETFEM UI» se
1373 puede afirmar que el proyecto concluyó de forma exitosa.

1374 Como primera conclusión, respondiendo a la pregunta realizada al comienzo del
1375 proyecto, se desprende que es posible realizar un sistema de cálculo de estruc-
1376 turas en la nube con un conjunto de funcionalidades acorde. Sin duda es una
1377 innovación dentro de este campo, debido a que los sistemas más populares del
1378 rubro ejecutan en un ambiente de escritorio. El equipo de desarrollo supone que
1379 estos sistemas no han migrado a una plataforma web simplemente por la can-
1380 tidad de trabajo necesario para recrear la inmensa cantidad de funcionalidades
1381 que componen estos programas.

1382 Las herramientas utilizadas se ajustaron a las necesidades. En particular, la
1383 herramienta ThreeJs resultó ser clave en el proyecto, demostrando que pueden
1384 realizarse aplicaciones 3D de una manera sencilla sobre un navegador Web. Se
1385 destaca, entre otras cosas, el amigable uso de la cámara, la cantidad de objetos
1386 y funciones previstas, y la documentación publicada, donde se ofrecen ejemplos
1387 productivos de cada aspecto de la librería.

1388 En cuanto a las planificaciones y estimaciones realizadas, se transcurrió con muy
1389 pocas diferencias con lo planificado, logrando realizar las entregas de iteraciones
1390 del producto en tiempo y forma con un buen grado de aceptación por parte de
1391 los tutores.

1392 La metodología de trabajo, como se esperaba, logró organizar la gran cantidad
1393 de tareas a realizar manteniendo un esquema de prioridades. Permitió además
1394 un alto nivel de transparencia con los tutores, donde se podía observar las tareas
1395 pendientes y realizadas, además de agregar cosas a mejorar o posibles *bugs*.

1396 En lo concerniente al producto, se logró un resultado final que supera las ex-
1397 pectativas iniciales, tanto del equipo de desarrollo como de los tutores, logrando
1398 atacar las más importantes limitaciones de la herramienta que motivaron la
1399 realización del proyecto. Se implementaron todas las funcionalidades esenciales
1400 logrando una solución completa donde es importante mencionar el entorno 3D
1401 de calidad.

1402 Sin duda existe un gran abanico de funcionalidades y mejoras a realizar, pero
1403 aún así, la herramienta logró mejorar notablemente su interacción con el usuario,
1404 reduciendo drásticamente el tiempo de ejecución y la cantidad de errores de
1405 usuario. De esta manera IETFEM podría posicionarse como el primer sistema
1406 de cálculo de estructuras desarrollado en América Latina, y uno de los muy
1407 pocos en el mundo que ejecuta en un ambiente web.

1408 Finalmente, cabe destacar que se considera que la herramienta alcanzó niveles de

1409 performance altamente satisfactorios, logrando soportar la carga de estructuras
1410 de más de 1500 elementos. De esta manera, el equipo se asegura el correcto
1411 funcionamiento de IETFEM para los estudiantes que lo utilizarán en el correr
1412 del año 2016.

1413 **6.2. Trabajo a futuro**

1414 **6.2.1. Trabajo en la interfaz**

1415 Si bien la interfaz cumple con los requisitos y el alcance pretendido para el
1416 proyecto, existen ciertos puntos para agregar y mejorar.

1417 En primer lugar y quizás como el punto más directo, se encuentra extender
1418 las capacidades de la interfaz de usuario para dar soporte a la resolución de
1419 el resto de los problemas que actualmente ya es capaz de resolver el motor de
1420 calculo IETFEM. Entre estos problemas se encuentran, por ejemplo: estructuras
1421 de vigas, pórticos planos, etc.

1422 Además se pueden agregar varias funcionalidades accesorias como cámara or-
1423 togonal o selección múltiple, enriqueciendo la experiencia con la herramienta e
1424 incluso asemejándola a la de programas comerciales con años de desarrollo. Con
1425 el fin de mejorar la experiencia es posible dedicar esfuerzo también a detalles
1426 estéticos de la interfaz para hacerla aún más atractiva.

1427 Un detalle técnico que podría ser importante atacar en el futuro son cuestiones
1428 de performance. Esto es principalmente, mejoramiento de estructuras de da-
1429 tos y algoritmos, mejor administración de la memoria utilizada y técnicas más
1430 avanzadas en cuanto al desarrollo gráfico. Todas los puntos anteriores permiti-
1431 rían la capacidad de manipular y procesar estructuras muy grandes, mejorando
1432 también la fluidez de los gráficos en estas situaciones.

1433 **6.2.2. Despliegue de la aplicación**

1434 Si bien la solución presentada fue realizada con tecnologías web, la misma se
1435 ejecuta en un entorno local (sin servidor que la despliegue) y con la intervención
1436 del usuario para correr los cálculos en el motor en GNU-Octave. Sin embargo
1437 esta decisión responde a un requerimiento de los tutores con el argumento de
1438 evitar el mantenimiento de servidores. Dicho esto, el diseño completo incluye
1439 elementos del lado del servidor que se pasarán a detallar brevemente quedando
1440 como trabajo futuro.

1441 La solución original plantea un servidor web para el despliegue de la aplicación
1442 (interfaz de usuario) y un servidor de aplicaciones con la funcionalidad de ejecu-
1443 tar el código del motor de cálculo con los parámetros recibidos desde la interfaz
1444 de usuario y devolver los resultados para que la interfaz los despliegue. Todas

1445 las comunicaciones entre servidores e interfaz se realizarían mediante servicios
1446 REST.

1447 De implementarse estos cambios se tendrían varias ventajas para la herramienta
1448 y los usuarios de la misma:

- 1449 ■ Posibilidad de acceder a la herramienta desde cualquier pc o dispositivo
1450 con acceso a Internet.
- 1451 ■ Evitar el paso manual de instalar y ejecutar GNU-Octave desde línea de
1452 comando siendo esto totalmente transparente para el usuario.
- 1453 ■ Capacidad de implementación de funcionalidades apoyándose en las posi-
1454 bilidades que ofrece la infraestructura como autenticación o un espacio de
1455 trabajo alojado en el servidor que permita guardar proyectos y resultados
1456 en la web.

1457 7. Anexos

1458 A. Especificación de Casos de Uso

- 1459 ■ **Nombre:** Alta de Material
- 1460 ■ **Descripción:** El usuario agrega un nuevo material en el sistema
- 1461 ■ **Precondiciones:** Ninguna
- 1462 ■ **Postcondiciones:** Existe un nuevo material definido en el sistema
- 1463 ■ **Flujo Normal:**
 - 1464 1. El usuario indica que quiere agregar un nuevo material
 - 1465 2. El usuario ingresa las propiedades del nuevo material
 - 1466 3. El sistema indica que se ha agregado un nuevo material
- 1467 ■ **Flujo Alternativo:**
 - 1468 • El usuario ingresa un valor inválido para alguna de las propiedades
1469 del material
 - 1470 1. El sistema indica un mensaje de error correspondiente
- 1471 ■ **Nombre:** Baja de Material
- 1472 ■ **Descripción:** El usuario elimina un material existente en el sistema
- 1473 ■ **Precondiciones:** Existe al menos un material definido en el sistema

1474	■ Postcondiciones: El material seleccionado por el usuario se elimina del
1475	sistema
1476	■ Flujo Normal:
1477	1. El usuario selecciona un material e indica que quiere eliminarlo
1478	2. El sistema indica que se ha eliminado el material
1479	■ Nombre: Modificación de Material
1480	■ Descripción: El usuario modifica un material existente en el sistema
1481	■ Precondiciones: Existe al menos un material definido en el sistema
1482	■ Postcondiciones: El material seleccionado por el usuario existe en el
1483	sistema con sus propiedades modificadas
1484	■ Flujo Normal:
1485	1. El usuario indica que quiere modificar un material
1486	2. El usuario ingresa las nuevas propiedades del material
1487	3. El sistema indica que se ha modificado el nuevo material
1488	■ Flujo Alternativo:
1489	● El usuario ingresa un valor inválido para alguna de las propiedades
1490	del material
1491	1. El sistema indica un mensaje de error correspondiente
1492	■ Nombre: Alta de Sección
1493	■ Descripción: El usuario agrega una nueva sección en el sistema
1494	■ Precondiciones: Ninguna
1495	■ Postcondiciones: Existe un nueva sección definido en el sistema
1496	■ Flujo Normal:
1497	1. El usuario indica que quiere agregar una nueva sección
1498	2. El usuario ingresa el área de la nueva sección
1499	3. El sistema indica que se ha agregado una nueva sección
1500	■ Flujo Alternativo:
1501	● El usuario ingresa un valor inválido para el área de la nueva sección

1502 1. El sistema indica un mensaje de error correspondiente

1503 ■ **Nombre:** Baja de Sección

1504 ■ **Descripción:** El usuario elimina una sección existente en el sistema

1505 ■ **Precondiciones:** Existe al menos una sección definida en el sistema

1506 ■ **Postcondiciones:** La sección seleccionada por el usuario se elimina del

1507 sistema

1508 ■ **Flujo Normal:**

1509 1. El usuario selecciona una sección e indica que quiere eliminarla

1510 2. El sistema indica que se ha eliminado la sección

1511 ■ **Nombre:** Modificación de Sección

1512 ■ **Descripción:** El usuario modifica una sección existente en el sistema

1513 ■ **Precondiciones:** Existe al menos una sección definido en el sistema

1514 ■ **Postcondiciones:** La sección seleccionada por el usuario existe en el sis-

1515 tema con su área modificada

1516 ■ **Flujo Normal:**

1517 1. El usuario indica que quiere modificar una sección

1518 2. El usuario ingresa la nueva área para la sección seleccionada

1519 3. El sistema indica que se ha modificado la sección

1520 ■ **Flujo Alternativo:**

1521 ● El usuario ingresa un valor inválido para el área de la sección

1522 1. El sistema indica un mensaje de error correspondiente

1523 ■ **Nombre:** Alta de Nodo

1524 ■ **Descripción:** El usuario agrega una nuevo nodo en el sistema

1525 ■ **Precondiciones:** No existe en el sistema un nodo con las mismas coor-

1526 denadas

1527 ■ **Postcondiciones:** Existe un nuevo nodo en el sistema

1528 ■ **Flujo Normal:**

1529 1. El usuario indica que quiere agregar una nueva nodo
1530 2. El usuario ingresa el área de la nueva sección
1531 3. El sistema indica que se ha agregado una nueva sección
1532 ■ **Flujo Alternativo:**
1533 • El usuario ingresa un valor inválido para el área de la nueva sección
1534 1. El sistema indica un mensaje de error correspondiente

1535 ■ **Nombre:** Baja de Nodo
1536 ■ **Descripción:** El usuario elimina un nodo del sistema.
1537 ■ **Precondiciones:** Existe al menos un nodo definido en el sistema
1538 ■ **Postcondiciones:** El nodo seleccionado por el usuario se elimina del sis-
1539 tema
1540 ■ **Flujo Normal:**
1541 1. El usuario selecciona un nodo e indica que quiere eliminarlo
1542 2. El sistema indica que se ha eliminado el nodo

1543 ■ **Nombre:** Modificación de Nodo
1544 ■ **Descripción:** El usuario modifica las propiedades de un nodo existente
1545 en el sistema
1546 ■ **Precondiciones:** Existe al menos un nodo definido en el sistema
1547 ■ **Postcondiciones:** El nodo seleccionado por el usuario existe en el sistema
1548 con sus propiedades modificadas
1549 ■ **Flujo Normal:**
1550 1. El usuario selecciona un nodo
1551 2. El usuario cambia las propiedades del nodo por las nuevas
1552 3. El sistema indica que se ha modificado el nodo
1553 ■ **Flujo Alternativo:**
1554 • El usuario ingresa un valor inválido para alguna de las propiedades
1555 1. El sistema indica un mensaje de error correspondiente

1556 ■ **Nombre:** Crear grilla

1557 ■ **Descripción:** El usuario define una grilla auxiliar para el diseño de la

1558 estructura y se crea en el sistema

1559 ■ **Precondiciones:**

1560 ■ **Postcondiciones:** La grilla definida existe en el sistema

1561 ■ **Flujo Normal:**

1562 1. El usuario define las coordenadas de inicio de la grilla

1563 2. El usuario define la cantidad de líneas y distancia de separación de

1564 las mismas

1565 3. El usuario confirma la creación de la grilla

1566 4. El sistema indica que se ha creado la grilla con éxito y la misma

1567 aparece en la interfaz 3D

1568 ■ **Flujo Alternativo:**

1569 ● El usuario ingresa un valor inválido para alguna de las propiedades

1570 1. El sistema indica un mensaje de error correspondiente

1571 ■ **Nombre:** Modificar Visualización de Propiedades

1572 ■ **Descripción:** Permite al usuario visualizar de forma gráfica en el modelo

1573 3D apoyos, resortes y fuerzas.

1574 ■ **Precondiciones:**

1575 ■ **Postcondiciones:** Dada las opciones de visualización activadas se rende-

1576 rizan en el espacio 3D los gráficos correspondientes.

1577 ■ **Flujo Normal:**

1578 1. El usuario activa/desactiva una opción de visualización

1579 2. El sistema muestra/esconde los gráficos correspondientes en la inter-

1580 faz

1581 ■ **Flujo Alternativo:**

1582 ■ **Nombre:** Nueva Estructura

1583 ■ **Descripción:** El usuario limpia el modelo y el espacio 3D para comenzar

1584 a trabajar con una estructura nueva

1585 ■ **Precondiciones:**

1586 ■ **Postcondiciones:** El sistema que en el estado inicial

1587 ■ **Flujo Normal:**

1588 1. El usuario elige la opción "Nueva Estructura" confirma la elección

1589 2. La interfaz se limpia volviendo al estado inicial

1590 ■ **Flujo Alternativo:**

1591 ■ **Nombre:** Guardar Estructura

1592 ■ **Descripción:** Permite al usuario guardar el trabajo actual para continuar

1593 con el mismo en otro momento

1594 ■ **Precondiciones:**

1595 ■ **Postcondiciones:** Se descarga un archivo con la información necesaria

1596 para poder reconstruir el estado actual del sistema

1597 ■ **Flujo Normal:**

1598 1. El usuario elige la opción "Guardar Estructura"

1599 2. Elige el nombre del archivo a descargar

1600 3. El archivo se descarga en el dispositivo del usuario

1601 ■ **Flujo Alternativo:**

1602 ■ **Nombre:** Abrir Estructura

1603 ■ **Descripción:** Permite cargar un archivo generado con el procedimiento

1604 "Guardar Estructura"dejando al sistema en el estado que este describe.

1605 ■ **Precondiciones:** Existe un archivo creado con el procedimiento "Guardar

1606 Estructura"

1607 ■ **Postcondiciones:** El sistema queda en el estado descrito por el archivo

1608 seleccionado

1609 ■ **Flujo Normal:**

1610 1. El usuario elige un archivo del file system

1611 2. El usuario confirma el cargado

1612 3. Se aprecia en la interfaz los datos y estructuras cargadas desde el

1613 archivo elegido

1614 ■ **Flujo Alternativo:**

1615 ■ **Nombre:** Generar Especificación

1616 ■ **Descripción:** Se genera un archivo reconocible por el motor de cálculo
1617 con la especificación de la estructura

1618 ■ **Precondiciones:**

1619 ■ **Postcondiciones:** Se descarga un archivo con la especificación de la es-
1620 tructura para utilizar como entrada al motor de calculo

1621 ■ **Flujo Normal:**

1622 1. El usuario elige la opción "Ejecutar IETFEM"

1623 2. El usuario confirma la descarga del archivo

1624 3. Se descarga el archivo correspondiente

1625 ■ **Flujo Alternativo:**

1626 ■ **Nombre:** Procesar Resultados

1627 ■ **Descripción:** Se trata de procesar el archivo resultante del motor de
1628 calculo, y habilitando una nueva vista para ver la estructura deformada

1629 ■ **Precondiciones:** Existe un archivo generado por el motor de calculo IET-
1630 FEM

1631 ■ **Postcondiciones:** Se procesa el archivo y se genera la vista de exploración
1632 de la estructura deformada en la interfaz del sistema

1633 ■ **Flujo Normal:**

1634 1. El usuario elige la opción "Procesar resultados"

1635 2. El usuario selecciona el archivo del file system

1636 3. Se genera la vista de exploración de la deformada en la interfaz

1637 ■ **Flujo Alternativo:**

1638 1. El usuario elige la opción "Procesar resultados"

1639 2. El usuario elige un archivo invalido

1640 3. El sistema despliega un mensaje de error correspondiente

1641 ■ **Nombre:** Escalar Deformada

1642 ■ **Descripción:** En la vista de exploración de la deformada permite exagerar
1643 la deformación en factores lineales para hacerla más apreciable

- 1644 ■ **Precondiciones:** Se procesaron los resultados de una estructura generán-
1645 dose en la interfaz la vista de exploración de la estructura deformada
- 1646 ■ **Postcondiciones:** Se aprecia la estructura deformada con con el factor
1647 de escala dado por el parámetro seleccionado
- 1648 ■ **Flujo Normal:**
 - 1649 1. El usuario elige el valor del factor de escala
 - 1650 2. Se despliega en la interfaz la estructura deformada con el factor de
1651 escala elegido
- 1652 ■ **Flujo Alternativo:**
 - 1653 1. El usuario elige un valor de factor de escala invalido
 - 1654 2. El sistema despliega un mensaje de error correspondiente
- 1655 ■ **Nombre:** Colorear Estructura
- 1656 ■ **Descripción:** En la vista de exploración de la deformada permite apreciar
1657 en la estructura original las barras coloreadas de acuerdo a tensiones,
1658 fuerzas y deformaciones
- 1659 ■ **Precondiciones:** Se procesaron los resultados de una estructura generán-
1660 dose en la interfaz la vista de exploración de la estructura deformada
- 1661 ■ **Postcondiciones:** Se aprecia la estructura con las escalas de colores co-
1662 rrespondientes de acuerdo a los resultados entregados por el motor de
1663 cálculos
- 1664 ■ **Flujo Normal:**
 - 1665 1. El usuario activa/desactiva una opción de coloración
 - 1666 2. Se aprecia en la interfaz la estructura coloreada de acuerdo a los datos
1667 del problema
- 1668 ■ **Flujo Alternativo:**

1669 B. Entrada del motor: Torre pequeña

1670 El siguiente documento constituye el archivo generado por la interfaz para ser
1671 ejecutado desde el motor de cálculo. Dicho archivo, en anteriores versiones de
1672 IETFEM (sin interfaz), debía escribirse a mano por el usuario. En él se pueden
1673 observar todos los aspectos de la estructura dibujada.

1674 **Primero se escriben parámetros seteados por defecto desde la interfaz.**

1675 Force Magnitude
 1676 kN

 1677 Length Magnitude
 1678 m

 1679 Number of degrees of freedom per node
 1680 3

 1681 Number of nodes per element
 1682 2

 1683 **Se definen los materiales, con todas sus propiedades.**

 1684 Number of materials
 1685 1

 1686 Materials:
 1687 Young Modulus gamma alpha (1/C) nu
 1688 68947572900 27679.904703 0 0.3

 1689 **Aquí se setean diferentes temperaturas. Para los casos ingresados**
 1690 **desde la interfaz, esta información es innecesaria.**

 1691 Number of temperature cases
 1692 0

 1693 Temperature cases:
 1694 Value

 1695 **Se definen las secciones.**

 1696 Number of sections
 1697 1

 1698 Sections:
 1699 Area
 1700 0.00193548
 1701

 1702 **Aquí se definen los nodos, y la posición espacial de cada una de ellos.**

 1703 Number of nodes
 1704 10

 1705 Node matrix
 1706 Xs Ys Zs
 1707 -0.9525 0 5.08
 1708 0.9525 0 5.08
 1709 -0.9525 0.9525 2.54
 1710 0.9525 0.9525 2.54
 1711 0.9525 -0.9525 2.54
 1712 -0.9525 -0.9525 2.54

```

1713 -2.54 2.54 0
1714 2.54 2.54 0
1715 2.54 -2.54 0
1716 -2.54 -2.54 0
1717
1718 Posteriormente se definen las barras, indicando material, sección y
1719 los nodos de inicio y fin.
1720 Number of elements
1721 25
1722 Conectivity matrix
1723 material section tempcase start end
1724 1 1 0 1 2
1725 1 1 0 1 4
1726 1 1 0 2 3
1727 1 1 0 1 5
1728 1 1 0 2 6
1729 1 1 0 2 4
1730 1 1 0 2 5
1731 1 1 0 1 3
1732 1 1 0 1 6
1733 1 1 0 3 6
1734 1 1 0 4 5
1735 1 1 0 3 4
1736 1 1 0 5 6
1737 1 1 0 3 10
1738 1 1 0 6 7
1739 1 1 0 9 4
1740 1 1 0 5 8
1741 1 1 0 7 4
1742 1 1 0 3 8
1743 1 1 0 10 5
1744 1 1 0 9 6
1745 1 1 0 10 6
1746 1 1 0 7 3
1747 1 1 0 8 4
1748 1 1 0 9 5
1749
1750 Aquí se especifican los nodos que presentan condiciones de despla-
1751 zamiento, así como su valor para cada coordenada.
1752 Number of displacement conditions nodes
1753 4
1754 Displacement conditions nodes matrix
1755 Displacement node X condition Y condition Z condition

```

1756 7 0 0 0
1757 8 0 0 0
1758 9 0 0 0
1759 10 0 0 0
1760
1761 **Luego se especifican los nodos que presentan fuerzas aplicadas, así**
1762 **como su valor para cada coordenada.**
1763 Number of puntual load conditions
1764 4
1765 Puntual loads conditions nodes matrix
1766 Load node FX FY FZ
1767 1 4535.9237 45359.237 -22679.6185
1768 2 0 45359.237 -22679.6185
1769 3 2267.96185 0 0
1770 6 2267.96185 0 0
1771
1772 **Análogamente, aquí se definen otro tipo de fuerzas que no son apli-**
1773 **cables a los casos ingresados desde la interfaz.**
1774 Number of dead volume load conditions
1775 0
1776 Dead volume loads conditions matrix
1777 Element bx by bz
1778 **Finalmente, y de igual manera, en esta sección se especifican los nodos**
1779 **que presentan resortes. En este caso, la torre definida no presenta**
1780 **ninguno.**
1781 Number of springs conditions nodes
1782 0
1783 Springs conditions nodes matrix
1784 Spring node X condition Y condition Z condition

1785 C. Salida del motor: Torre pequeña

1786 Una vez que se ejecuta el motor de cálculo, el mismo expone un documento con
1787 información necesaria para el dibujo de la estructura deformada en la interfaz.
1788 Se decidió que el documento contenga además toda la información ingresada en
1789 el documento inicial, con el fin de controlar que se está procesando la misma
1790 estructura que se dibujó, evitando así problemas de consistencia.
1791 El motor agrega 2 matrices:

1792 **La primera matriz contiene el desplazamiento de cada nodo por coor-**
1793 **denada. Sólo con esta información ya es posible dibujar la estructura**
1794 **deformada, ya que se mantiene la conectividad y los nodos siempre**
1795 **se unen por líneas rectas.**

1796 Desplazamientos de los nodos
1797 u_x u_y u_z
1798 3.47e-004 6.71e-003 -3.86e-004
1799 3.96e-004 6.71e-003 -5.87e-004
1800 1.78e-005 4.48e-004 -1.67e-003
1801 1.11e-004 4.61e-004 -1.80e-003
1802 1.35e-005 4.22e-004 1.07e-003
1803 1.15e-004 4.35e-004 1.19e-003
1804 0.00e+000 0.00e+000 0.00e+000
1805 0.00e+000 0.00e+000 0.00e+000
1806 0.00e+000 0.00e+000 0.00e+000
1807 0.00e+000 0.00e+000 0.00e+000
1808

1809 **La segunda matriz contiene los valores de Deformación, Fuerza y Ten-**
1810 **sión para cada barra. Esta información se utiliza en la interfaz para**
1811 **colorear la estructura y apreciar, por ejemplo, cuáles barras se com-**
1812 **primen y cuáles se estiran.**

1813 Parametros en barras
1814 Deformación Fuerza Tension
1815 2.60e-005 3.47e+003 1.79e+006
1816 -2.56e-004 -3.42e+004 -1.77e+007
1817 -2.27e-004 -3.02e+004 -1.56e+007
1818 1.52e-004 2.03e+004 1.05e+007
1819 1.81e-004 2.42e+004 1.25e+007
1820 -3.91e-004 -5.22e+004 -2.70e+007
1821 2.43e-004 3.25e+004 1.68e+007
1822 -3.67e-004 -4.89e+004 -2.53e+007
1823 2.68e-004 3.57e+004 1.84e+007
1824 6.40e-006 8.54e+002 4.41e+005
1825 2.01e-005 2.68e+003 1.39e+006
1826 4.90e-005 6.54e+003 3.38e+006
1827 -5.35e-005 -7.14e+003 -3.69e+006
1828 -1.25e-004 -1.67e+004 -8.65e+006
1829 7.98e-005 1.07e+004 5.51e+006
1830 -1.48e-004 -1.98e+004 -1.02e+007
1831 5.72e-005 7.63e+003 3.94e+006
1832 -2.32e-004 -3.10e+004 -1.60e+007
1833 -2.37e-004 -3.16e+004 -1.63e+007
1834 1.62e-004 2.16e+004 1.12e+007
1835 1.57e-004 2.09e+004 1.08e+007

1836 3.40e-004 4.53e+004 2.34e+007
 1837 -4.29e-004 -5.72e+004 -2.96e+007
 1838 -4.76e-004 -6.36e+004 -3.28e+007
 1839 2.92e-004 3.90e+004 2.01e+007
 1840

1841 Referencias

- 1842 [1] *GNU-Octave*: <https://www.gnu.org/software/octave/>
 1843 [2] *IETFEM*: Una herramienta de código abierto aplicada a la
 1844 enseñanza del Método de Elementos Finitos en Ingeniería
 1845 - [http://www.ing.unrc.edu.ar/raei/archivos/img/arc_2015-04-](http://www.ing.unrc.edu.ar/raei/archivos/img/arc_2015-04-22_02_19_48-07.pdf)
 1846 [22_02_19_48-07.pdf](http://www.ing.unrc.edu.ar/raei/archivos/img/arc_2015-04-22_02_19_48-07.pdf)
 1847 [3] *SAP 2000*: <https://www.csiamerica.com/products/sap2000>
 1848 [4] *AxixVM*: <http://axisvm.eu/index.html>
 1849 [5] *MatLab*: <http://www.mathworks.com/products/matlab>
 1850 [6] *Método de los elementos finitos*: [http://www.iit.upcomillas.es/](http://www.iit.upcomillas.es/carnice-ro/Resistencia/Introduccion_al_MEF.pdf) carnice-
 1851 [ro/Resistencia/Introduccion_al_MEF.pdf](http://www.iit.upcomillas.es/carnice-ro/Resistencia/Introduccion_al_MEF.pdf)
 1852 [7] *Computers & Structures, Inc.*: <https://www.csiamerica.com>
 1853 [8] *Alcance mundial de SAP2000*: <https://www.csiamerica.com/about>
 1854 [9] *Idea StatiCa*: <https://www.ideastatica.com>
 1855 [10] *CloudCalc*: <http://www.cloudcalc.com>
 1856 [11] *SkyCiv*: <https://skyciv.com>
 1857 [12] *OpenGL*: https://www.opengl.org/documentation/current_version
 1858 [13] *Lightweight Java Game Library 3*: <https://www.lwjgl.org>
 1859 [14] *Java OpenGL*: https://en.wikipedia.org/wiki/Java_OpenGL
 1860 [15] *JMonkey Engine*: <http://jmonkeyengine.org/tour/introduction>
 1861 [16] *HTML Canvas 2D*: <http://www.w3.org/TR/2dcontext>
 1862 [17] *WebGL*: <https://en.wikipedia.org/wiki/WebGL>
 1863 [18] *Experience Curiosity*: <http://eyes.nasa.gov/curiosity>
 1864 [19] *ThreeJS*: <http://threejs.org>
 1865 [20] *BabylonJS*: <http://www.babylonjs.com>
 1866 [21] *Metodología Kanban*: <http://kanbantool.com/es/metodologia-kanban>

- 1867 [22] *Jira*: <https://es.atlassian.com/software/jira>
- 1868 [23] *TFS*: <https://www.visualstudio.com/en-us/products/tfs-overview-vs.aspx>
- 1869 [24] *HTML5*: <https://es.wikipedia.org/wiki/HTML5>
- 1870 [25] *JavaScript*: <https://www.javascript.com/>
- 1871 [26] *CSS3*: https://es.wikipedia.org/wiki/Hoja_de_estilos_en_cascada#CSS3
- 1872 [27] *Bootstrap*: <http://getbootstrap.com>
- 1873 [28] *AngularJS*: <https://angularjs.org>
- 1874 [29] *Optimizing ThreeJS Blog*: [http://www.ianww.com/blog/2012/11/04/optimizing-](http://www.ianww.com/blog/2012/11/04/optimizing-three-dot-js-performance-simulating-tens-of-thousands-of-independent-moving-objects)
- 1875 [three-dot-js-performance-simulating-tens-of-thousands-of-independent-](http://www.ianww.com/blog/2012/11/04/optimizing-three-dot-js-performance-simulating-tens-of-thousands-of-independent-moving-objects)
- 1876 [moving-objects](http://www.ianww.com/blog/2012/11/04/optimizing-three-dot-js-performance-simulating-tens-of-thousands-of-independent-moving-objects)
- 1877 [30] *Performance Monitor*: [http://learningthreejs.com/blog/2013/06/25/monitor-](http://learningthreejs.com/blog/2013/06/25/monitor-rendering-performance-within-threejs)
- 1878 [rendering-performance-within-threejs](http://learningthreejs.com/blog/2013/06/25/monitor-rendering-performance-within-threejs)